

บทที่ 3

ผลการทดลอง

สมบัติทางเคมีภysisของเป้าโซเดียมคาร์บอฟิลเมทิล

1. ลักษณะภายนอกของเป้าดินและเป้าโซเดียมคาร์บอฟิลเมทิล

จากการเตรียมเป้าโซเดียมคาร์บอฟิลเมทิลโดยใช้เป้า 3 ชนิด ได้แก่ เป้าข้าวเจ้า (R) เป้าข้าวเหนียว (G) และเป้ามันสำปะหลัง (T) พบว่า เป้าที่เตรียมได้ทั้ง 6 ชนิด คือ MGS, MRS, MTS, IGS, IRS, และ ITS มีลักษณะภายนอกเหมือนกัน คือ เป็นผลละเอียดสีขาวคล้ายกับเป้าที่ยังไม่ได้ผ่านการตัดแต่ง และเมื่อส่องดูด้วย SEM จะเห็นลักษณะของเม็ดเป้าดังตาราง 3.1 และรูป 3.1 - 3.3

ตาราง 3.1 แสดงลักษณะของเม็ดเป้าดินและเม็ดเป้าโซเดียมคาร์บอฟิลเมทิลที่ได้จาก SEM

ชนิดเป้า	ลักษณะของเม็ดเป้า
IGS	หลาຍเหล້ຍນ ຂາດເລັກ
MGS	หลาຍเหล້ຍນ ຂາດເລັກ
G	หลาຍเหล້ຍນ ຂາດເລັກ
IRS	หลาຍเหล້ຍນ ຂາດເລັກ
MRS	หลาຍเหล້ຍນ ຂາດເລັກ
R	หลาຍเหล້ຍນ ຂາດເລັກ
ITS	ຄ່ອນຫ້າງກລມ ຂາດໃໝ່
MTS	ຄ່ອນຫ້າງກລມ ຂາດໃໝ່
T	ຄ່ອນຫ້າງກລມ ຂາດໃໝ່



(n)



(x)



(k)

รูป 3.1 ภาพพื้นผิวของ IGS, MGS, และ G ที่ได้จาก SEM

(ก) IGS

(ข) MGS

(ค) G



(ก)



(ก)



(ก)

รูป 3.2 ภาพพื้นผิวของ IRS, MRS, และ R ที่ได้จาก SEM

(ก) IRS

(ข) MRS

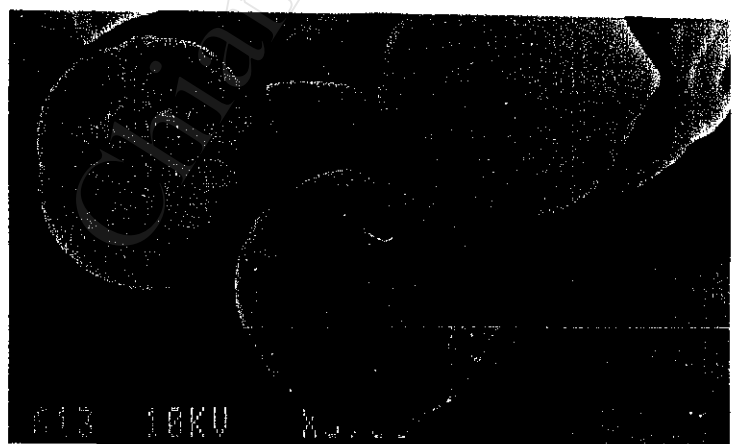
(ค) R



(n)



(x)



(r)

รูป 3.3 ภาพพื้นผิวของ ITS, MTS, และ T ที่ได้จาก SEM

(ก) ITS

(ข) MTS

(ค) T

2. ระดับการแทนที่ (degree of substitution, DS) ในแป้งใช้เดี่ยมคาร์บอคชีเมทิล

DS ในแป้งใช้เดี่ยมคาร์บอคชีเมทิลที่เตรียมได้แสดงในตาราง 3.2 พบว่า DS อยู่ในช่วง 0.1 - 0.5 โดยเรียงตามลำดับจากมากไปน้อยดังนี้ IGS > ITS > IRS > MRS > MGS > MTS

ตาราง 3.2 แสดง DS ในแป้งใช้เดี่ยมคาร์บอคชีเมทิลที่เตรียมได้

ชนิดแป้ง	M *	C *	A	S	DS
MGS	0.139 ± 0.000	5.277 ± 0.134	0.024	0.129	0.153
MRS	0.062 ± 0.000	9.636 ± 0.091	0.011	0.248	0.259
MTS	0.119 ± 0.000	4.870 ± 0.076	0.021	0.118	0.139
IGS	0.085 ± 0.000	16.807 ± 0.183	0.017	0.476	0.493
IRS	0.124 ± 0.000	12.580 ± 0.111	0.024	0.337	0.361
ITS	0.108 ± 0.000	12.850 ± 0.170	0.021	0.345	0.366

* ค่าเฉลี่ย ± SD เมื่อ n=3

3. ปริมาณความชื้นในแป้งติบและแป้งใช้เดี่ยมคาร์บอคชีเมทิล

ปริมาณความชื้นในแป้งติบและแป้งใช้เดี่ยมคาร์บอคชีเมทิลที่ได้จากการตีเต็ตกับคาร์บอฟิลิกอโรเจนท์แสดงเป็นเบอร์เท็นต์ดังตาราง 3.3 พบว่า เบอร์เท็นต์ความชื้นในแป้งใช้เดี่ยมคาร์บอคชีเมทิลอยู่ในช่วง 8 - 10 % โดยเรียงตามลำดับจากมากไปน้อยดังนี้ T > G > R > IRS > MRS > ITS > MGS > MTS > IGS

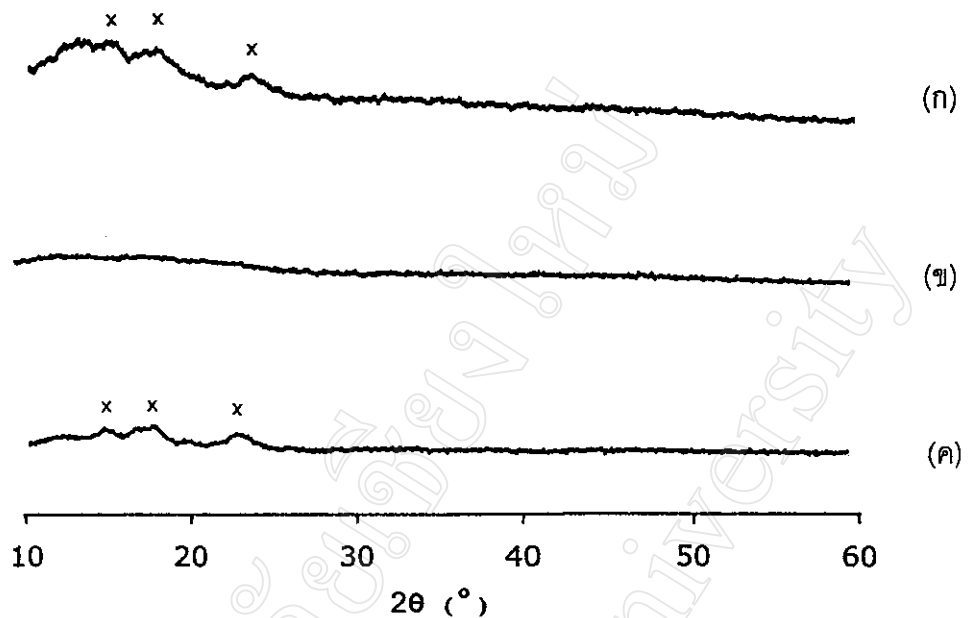
ตาราง 3.3 แสดงเปอร์เซ็นต์ความชื้นในแป้งดิบและแป้งโซเดียมคาร์บอคซีเมทิลที่เตรียมได้

ชนิดแป้ง	เปอร์เซ็นต์ความชื้น *
G	12.131 ± 0.232
R	11.133 ± 0.354
T	13.035 ± 0.235
MGS	8.208 ± 0.129
MRS	8.401 ± 0.385
MTS	7.830 ± 0.356
IGS	7.772 ± 0.804
IRS	9.556 ± 0.191
ITS	8.254 ± 0.513

* ค่าเฉลี่ย \pm SD เมื่อ n=3

4. ความเป็นผลึกของแป้งดิบและแป้งโซเดียมคาร์บอคซีเมทิล

การศึกษาความเป็นผลึกของแป้งโซเดียมคาร์บอคซีเมทิลที่เตรียมได้โดยใช้เครื่องพาวเดอร์เอ็กซ์เรย์ดิฟเฟรกтомิเตอร์ (powder X - ray diffractometer) ได้รูปแบบพาวเดอร์เอ็กซ์เรย์-ดิฟเฟรกชันดังแสดงในรูป 3.4 - 3.6 พบว่า แป้งโซเดียมคาร์บอคซีเมทิลทั้ง 3 ชนิดที่ใช้โซเดียมอลูมิเนียมออกไซด์เป็นตัวกลาง ได้แก่ IGS, IRS, และ ITS ให้ลักษณะของพาวเดอร์เอ็กซ์เรย์ดิฟเฟรกชันคล้ายกันแป้งดิบ คือ มีลักษณะเป็นแบบฮาโล (halo pattern) แต่จะเห็นพีคแสดงความเป็นผลึก (identical crystalline peak) ที่ตำแหน่ง 2 θ ประมาณ 14, 18, และ 23 ส่วนแป้งโซเดียมคาร์บอคซีเมทิลที่ใช้เมทานอลเป็นตัวกลาง ได้แก่ MGS, MRS, และ MTS พบว่าให้ลักษณะของพาวเดอร์เอ็กซ์เรย์ดิฟเฟรกชันเป็นแบบฮาโลอย่างสมบูรณ์

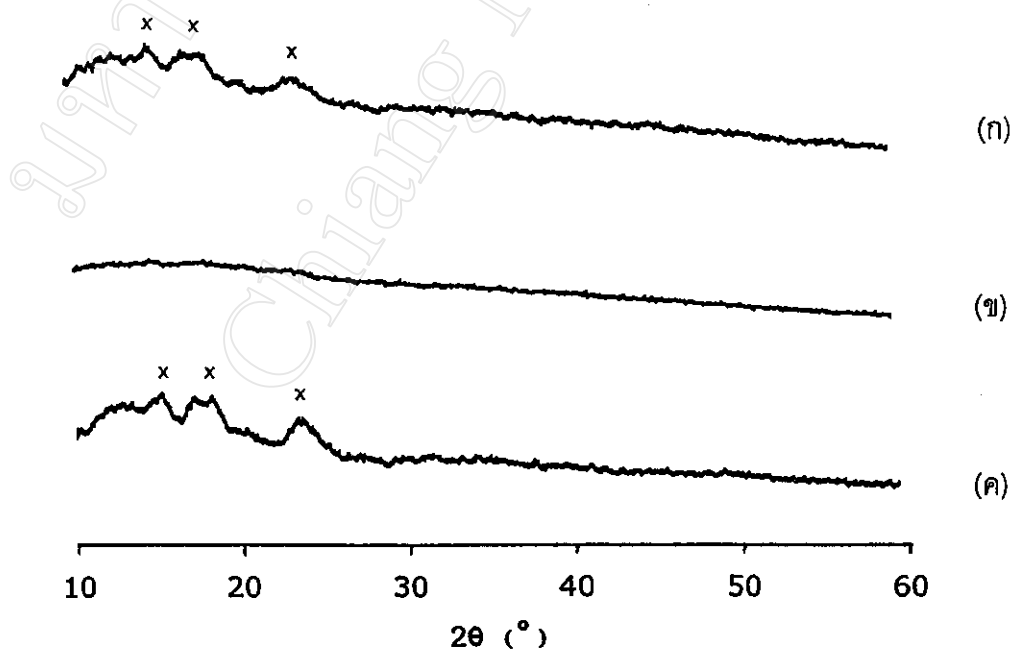


รูป 3.4 รูปแบบพลาเดอร์เอ็กซ์เรย์ดิฟเฟρεกชันของ IGS, MGS, และ G

(ก) IGS

(ข) MGS

(ค) G

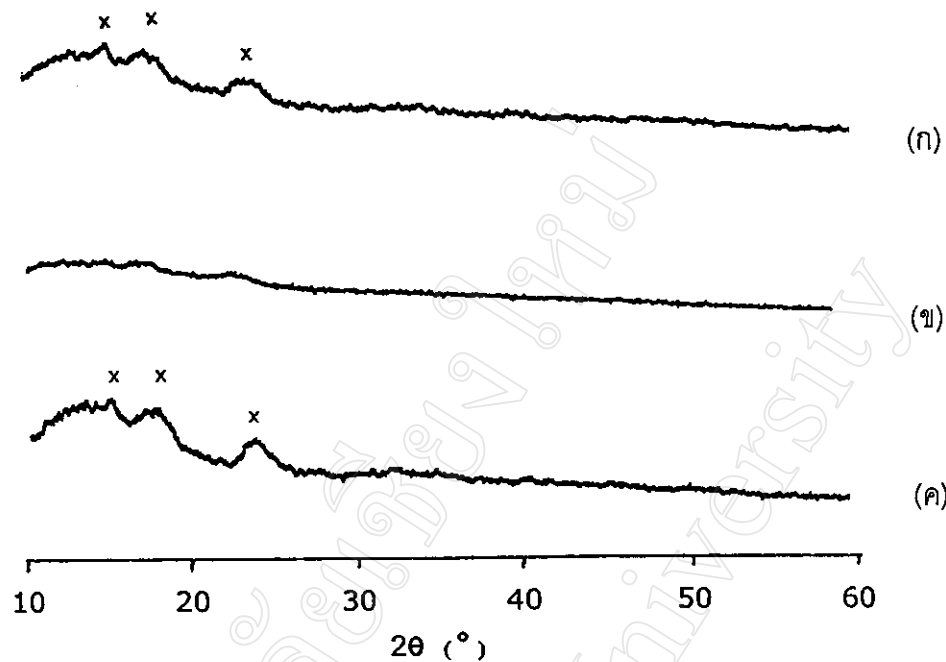


รูป 3.5 รูปแบบพลาเดอร์เอ็กซ์เรย์ดิฟเฟρεกชันของ IRS, MRS, และ R

(ก) IRS

(ข) MRS

(ค) R



รูป 3.6 รูปแบบพลาเดอร์เอ็กซ์เรย์ดิฟเฟρากชั่นของ ITS, MTS, และ T

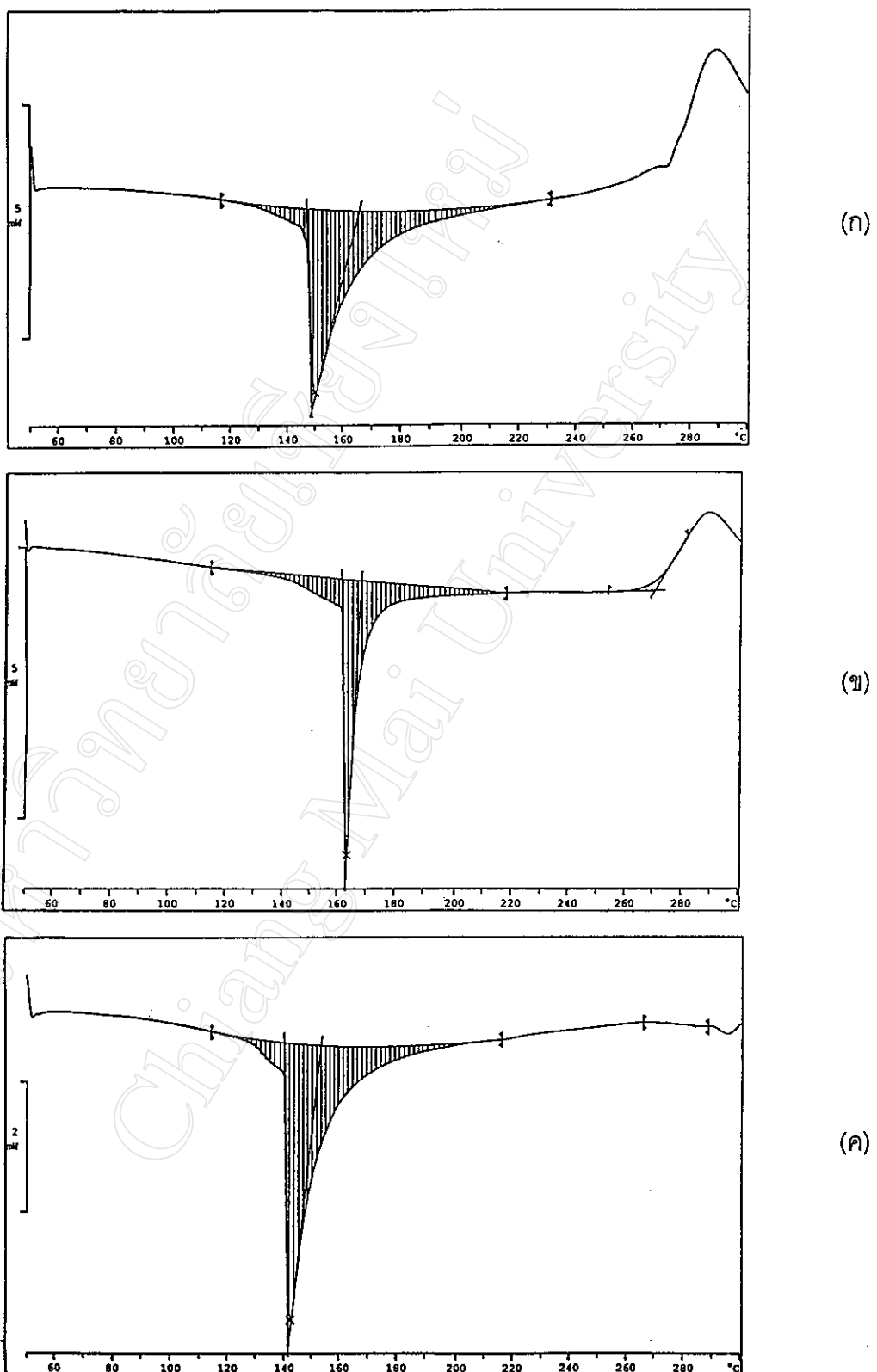
(ก) ITS

(ข) MTS

(ค) T

5. พฤติกรรมเมื่อได้รับความร้อนของเป้าดิบและเป้าโซเดียมคาร์บอฟีเมทิล

การศึกษาพฤติกรรมเมื่อได้รับความร้อนของเป้าดิบและเป้าโซเดียมคาร์บอฟีเมทิลที่เตรียมได้โดยใช้เครื่องดิฟเฟρาเรนเซียลสแกนนิ่งแคลอริมิเตอร์ (differential scanning calorimeter) ได้ลักษณะเทอร์โมแกรมดังแสดงในรูป 3.7 - 3.9 ตำแหน่งที่เริ่มเกิดพีค (onset) ตำแหน่งที่เกิดพีคสูงสุด (peak) และค่าความร้อนที่ทำให้สารเปลี่ยนสถานะ (heat of fusion, ΔH_f) ในหน่วย J/g แสดงในตาราง 3.4 พบว่า ตำแหน่งที่เริ่มเกิดพีคของเป้าโซเดียมคาร์บอฟีเมทิลอยู่ในช่วงอุณหภูมิ 134 - 162 °C และค่า ΔH_f ของเป้าดิบและเป้าโซเดียมคาร์บอฟีเมทิลอยู่ในช่วง 98 - 196 J/g

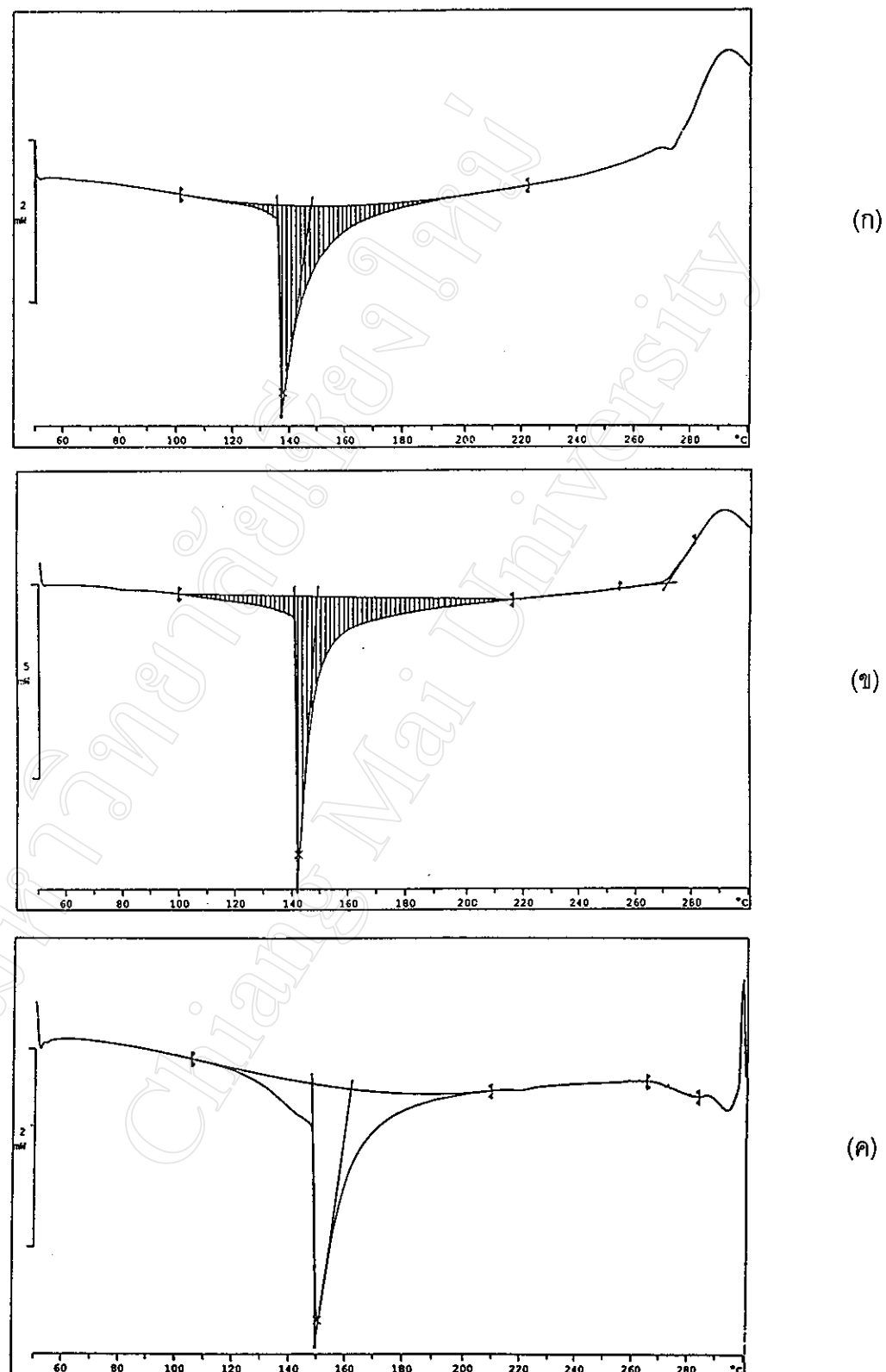


รูป 3.7 ลักษณะเทอร์โมแกรมของ IGS, MGS, และ G

(ก) IGS

(จ) MGS

(ก) G

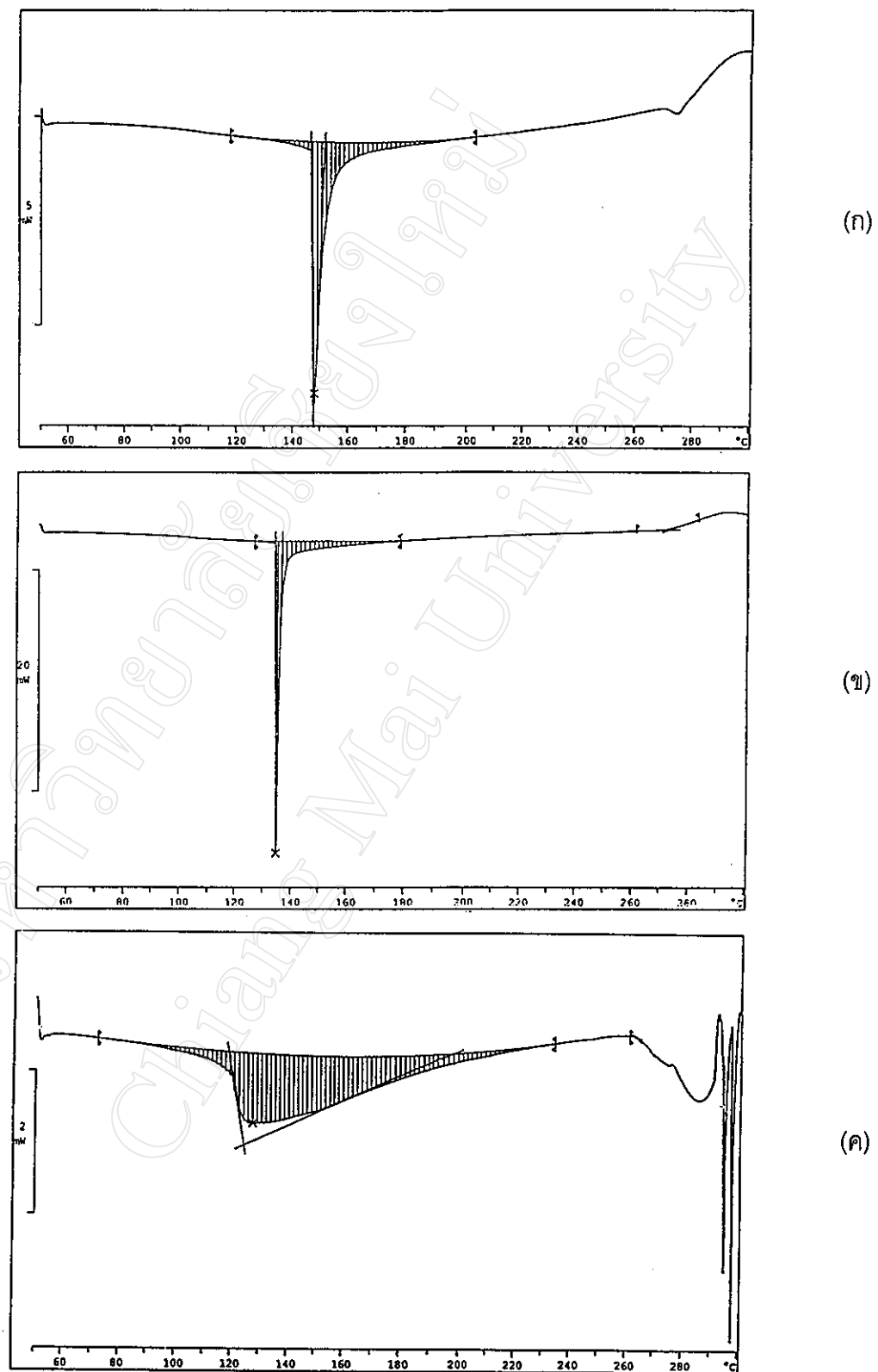


รูป 3.8 ลักษณะเทอร์โมแกรมของ IRS, MRS, และ R

(η) IRS

(ω) MRS

(ρ) R



รูป 3.9 ลักษณะเทอร์โมแกรมของ ITS, MTS, และ T

(ก) ITS

(ข) MTS

(ค) T

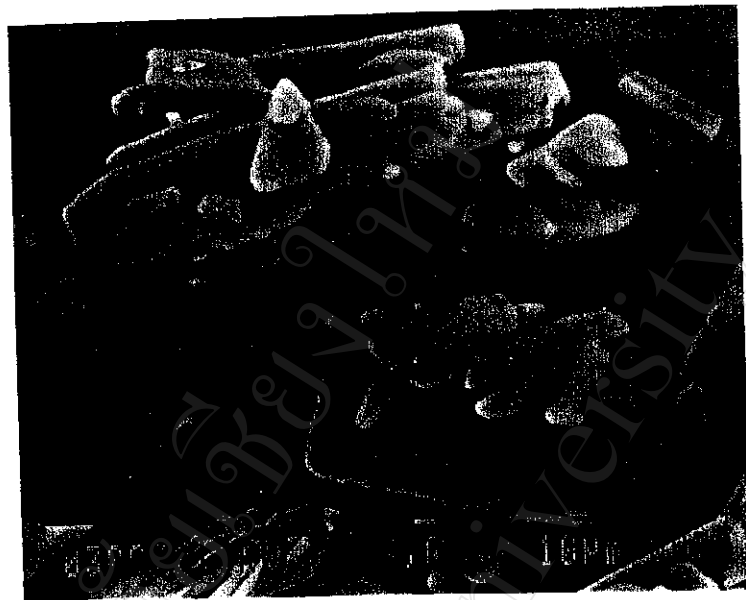
ตาราง 3.4 แสดงตำแหน่งที่เริ่มเกิดพีค ตำแหน่งที่เกิดพีคสูงสุดและค่า ΔH_f ในหน่วย J/g ของ
แป้งดิบและแป้งโซเดียมคาร์บอซีเมทิลที่เตรียมได้

ชนิดแป้ง	ตำแหน่งที่เริ่มเกิดพีค ($^{\circ}\text{C}$)	ตำแหน่งที่เกิดพีคสูงสุด ($^{\circ}\text{C}$)	ΔH_f (J/g)
IGS	146.90	149.78	149.30
MGS	161.84	163.19	149.72
G	139.99	142.26	152.75
IRS	135.96	137.87	113.43
MRS	140.67	142.15	195.67
R	147.84	150.18	131.76
ITS	146.67	147.69	98.32
MTS	134.17	133.54	159.76
T	119.16	127.76	161.71

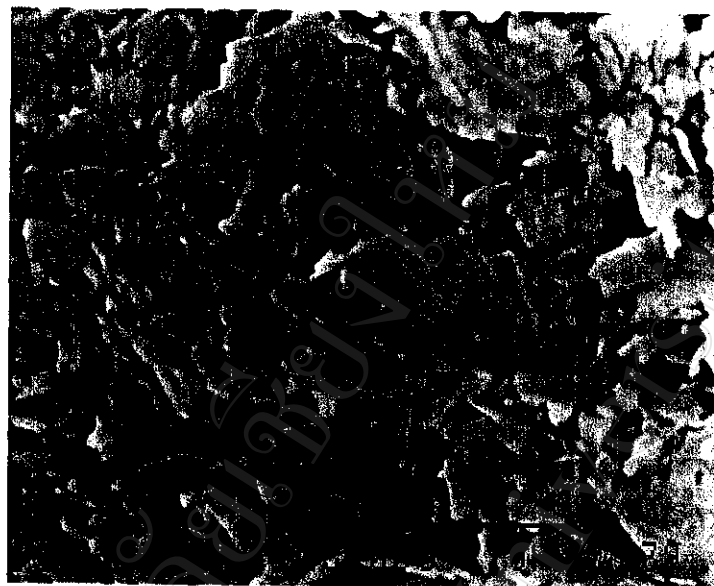
สมบัติทางเคมีภysisของแป้งของโซเดียมคาร์บอซีเมทิลที่เตรียมได้

1. ลักษณะภysisของโซเดียมคาร์บอซีเมทิลที่เตรียมได้

โซเดียมคาร์บอซีเมทิลที่เตรียมได้ทั้งหมดมีลักษณะภysisของเมื่อนักวิจัย คือ เป็นผงละเอียด สีขาวครีม และเมื่อส่องดูด้วย SEM จะเห็นลักษณะของตัวยาและสารตัวพาดังตาราง 3.5 และรูป 3.10 - 3.16 พบร้า โซเดียมคาร์บอซีเมทิลที่เตรียมได้ทั้งหมดมีการเปลี่ยนแปลงขนาดจากผลึกรูปแท่ง (rod) ขนาดใหญ่ดังรูป 3.10 กลายเป็นแท่งขนาดเล็กลงดังรูป 3.11 - 3.16 โดยที่อัตราส่วนของตัวยาต่อสารตัวพาเท่ากับ 1 : 9 ผลึกของตัวยาจะเกาะอยู่กับผิวของสารตัวพา และที่อัตราส่วนของตัวยาต่อสารตัวพาเท่ากับ 1 : 1 จะมีผลึกของตัวยาบางส่วนเกาะรวมกันเป็นก้อน



รูป 3.10 ลักษณะผลึกของตัวยาโอลอกซ่าซิน (O)



(ก)



(ข)

รูป 3.11 ลักษณะของตัวยาและสารตัวพาในโอลอกซารินิโซลิดดิสเพอร์สันที่ใช้ MGS เป็นสารตัวพา

(ก) O : MGS = 1 : 1

(ข) O : MGS = 1 : 9



(ก)



(ข)

รูป 3.12 ลักษณะของตัวยาและสารตัวพาในอิофลอกชาชินโซลิดดิสเพอร์ซันที่ใช้ MRS เป็นสารตัวพา

(ก) $O : MRS = 1 : 1$

(ข) $O : MRS = 1 : 9$



(n)



(ŋ)

รูป 3.13 ลักษณะของตัวยาและสารตัวพาในโอลอกซ่าซินโซลิดดิสเพอร์สันที่ใช้ MTS เป็น

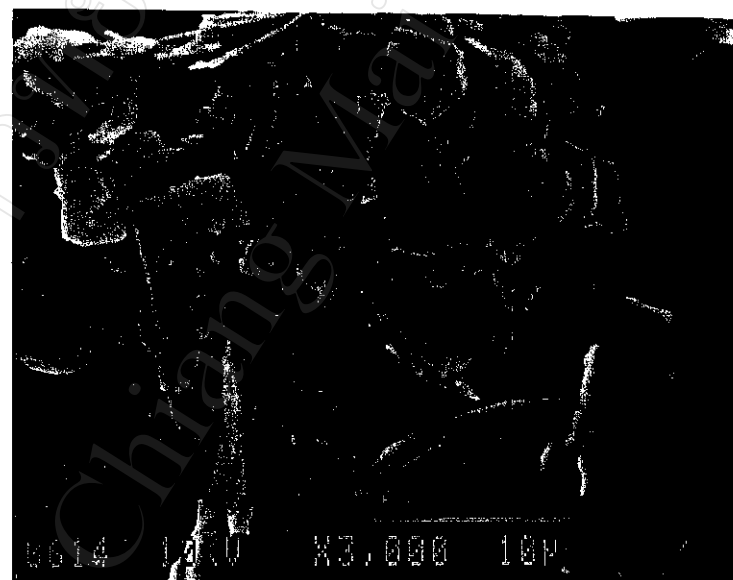
สารตัวพา

(ก) O : MTS = 1 : 1

(ง) O : MTS = 1 : 9



(η)



(ηη)

รูป 3.14 ลักษณะของตัวยาและสารตัวพำนีในโอลอกชาซินโกลิดดิสเพอร์ฟันที่ใช้ IGS เป็นสารตัวพำนี

(η) O : IGS = 1 : 1

(ηη) O : IGS = 1 : 9



(ก)



(ข)

รูป 3.15 ลักษณะของตัวยาและสารตัวพาในโอลอกซ่าชินไฮลิดดิสเพอร์สันที่ใช้ IRS เป็นสารตัวพา

(ก) O : IRS = 1 : 1

(ข) O : IRS = 1 : 9

(ก)



(ข)



รูป 3.16 ลักษณะของตัวยาและสารตัวพาในอีฟลอกซ่าชินโซลิดดิสเพอร์สชันที่ใช้ ITS เป็นสารตัวพา

(ก) O : ITS = 1 : 1

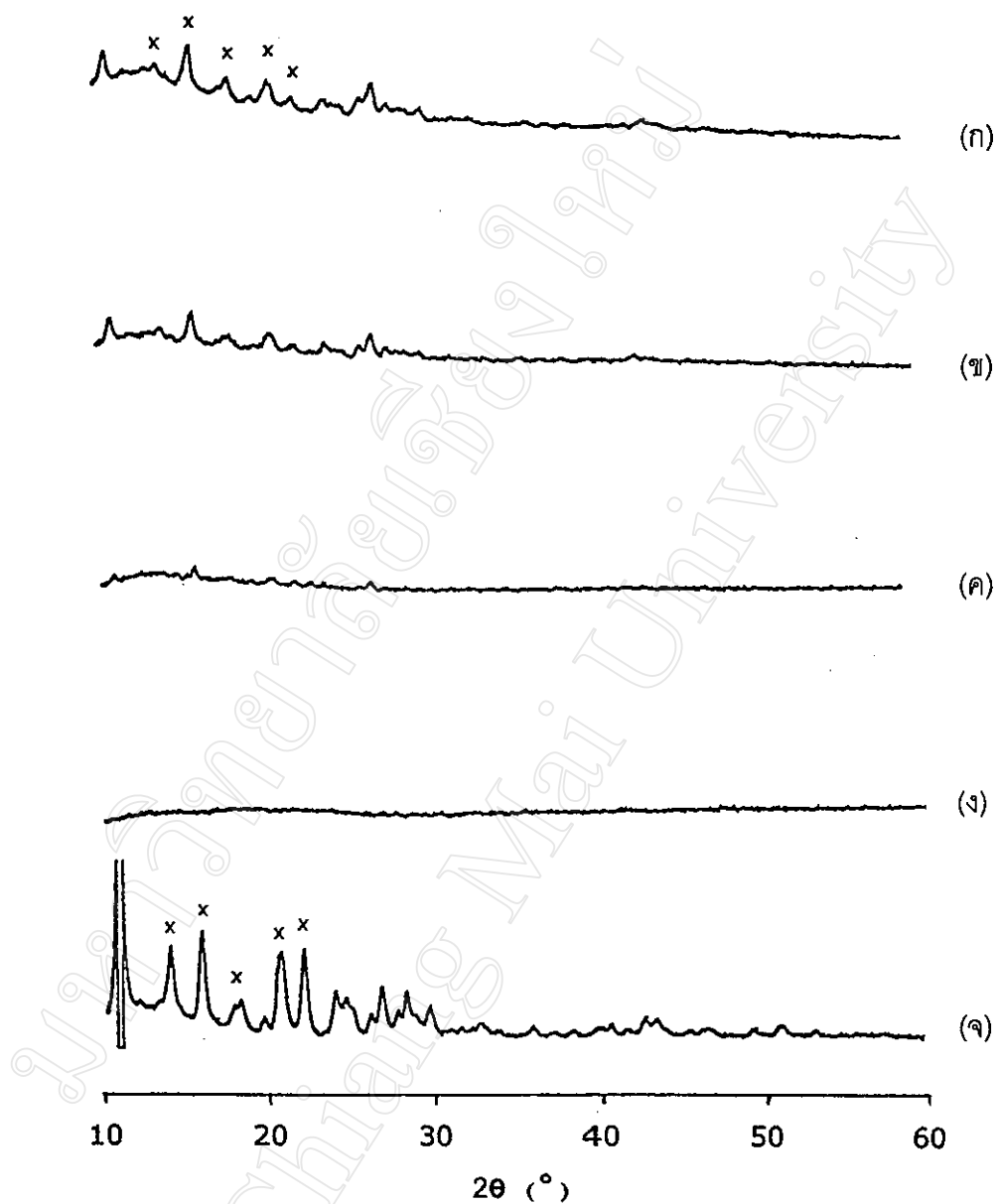
(ข) O : ITS = 1 : 9

ตาราง 3.5 แสดงลักษณะของตัวยาและสารตัวพาในโอลอกชาชินโซลิดดิสเพอร์สันที่ได้จาก SEM

โอลอกชาชินโซลิดดิสเพอร์สัน	ลักษณะของตัวยาและสารตัวพา
O : MGS = 1 : 1	ผลึกของตัวยาเป็นแท่งขนาดเล็กลง และเกาะรวมกันเป็นก้อน
O : MGS = 1 : 9	ผลึกของตัวยาเป็นแท่งขนาดเล็กลงเกาะอยู่กับผิวเม็ดแบ่ง
O : MRS = 1 : 1	ผลึกของตัวยาเป็นแท่งขนาดเล็กลง และเกาะรวมกันเป็นก้อน
O : MRS = 1 : 9	ผลึกของตัวยาเป็นแท่งขนาดเล็กลงเกาะอยู่กับผิวเม็ดแบ่ง
O : MTS = 1 : 1	ผลึกของตัวยาเป็นแท่งขนาดเล็กลงเกาะอยู่กับผิวเม็ดแบ่ง
O : MTS = 1 : 9	ผลึกของตัวยาเป็นแท่งขนาดเล็กลงเกาะอยู่กับผิวเม็ดแบ่ง
O : IGS = 1 : 1	ผลึกของตัวยาเป็นแท่งขนาดเล็กลง และเกาะรวมกันเป็นก้อน
O : IGS = 1 : 9	ผลึกของตัวยาเป็นแท่งขนาดเล็กลงเกาะอยู่กับผิวเม็ดแบ่ง
O : IRS = 1 : 1	ผลึกของตัวยาเป็นแท่งขนาดเล็กลง และเกาะรวมกันเป็นก้อน
O : IRS = 1 : 9	ผลึกของตัวยาเป็นแท่งขนาดเล็กลงเกาะอยู่กับผิวเม็ดแบ่ง
O : ITS = 1 : 1	ผลึกของตัวยาเป็นแท่งขนาดเล็กลงเกาะอยู่กับผิวเม็ดแบ่ง
O : ITS = 1 : 9	ผลึกของตัวยาเป็นแท่งขนาดเล็กลงเกาะอยู่กับผิวเม็ดแบ่ง

2. ความเป็นผลึกของโอลอกชาชินโซลิดดิสเพอร์สัน

การศึกษาความเป็นผลึกของโอลอกชาชินในโซลิดดิสเพอร์สันโดยใช้เครื่องพาวเดอร์เอ็กซเรย์ดิฟเฟรนก์มิเตอร์ พบร่วมกับ โอลอกชาชินในโซลิดดิสเพอร์สันให้รูปแบบพาวเดอร์-เอ็กซเรย์ดิฟเฟรนก์ซันที่แสดงความเป็นผลึกของตัวยาอยู่ในตัวแน่นไกล์เดียงกับโอลอกชาชินเดียว (intact) คือ ที่ตัวแน่น 20 เท่ากับ 13.89, 15.78, 18.06, 20.55, 21.93 และที่อัตราส่วนของตัวยาต่อสารตัวพาเท่ากับ 1 : 9 ความสูงพีคที่แสดงความเป็นผลึกจะต่ำกว่าที่อัตราส่วนของตัวยาต่อสารตัวพาเท่ากับ 3 : 7 และ 1 : 1 ตามลำดับ ดังแสดงในรูป 3.17 - 3.22



รูป 3.17 รูปแบบพาวเดอร์เอ็กซ์เรย์ดิฟแทร็กชันของโอลอกาชินโซลิดิสเพอร์สน์ที่ใช้ MGS เป็นสารตัวพา

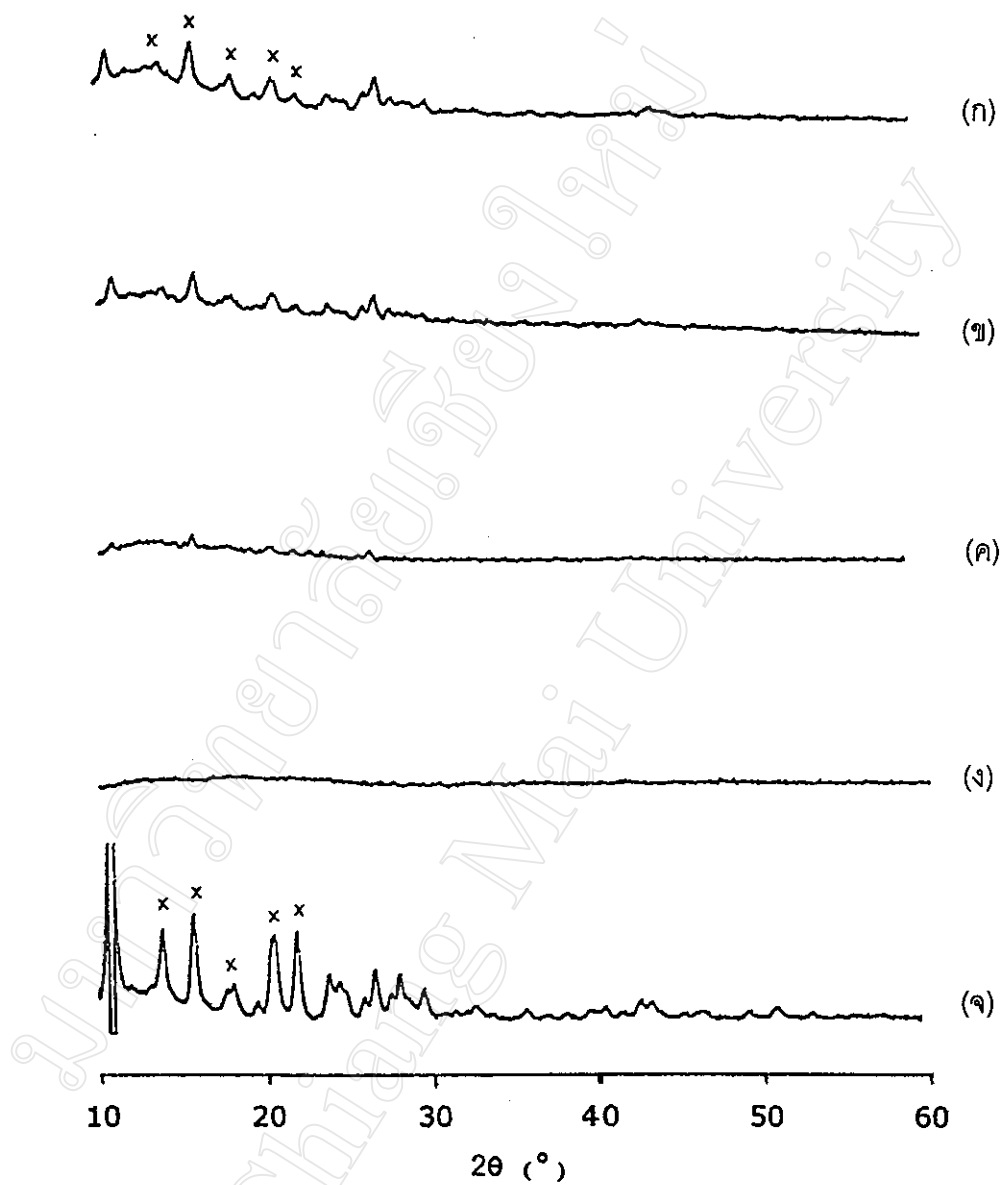
(ก) O : MGS = 1 : 1

(ก) O : MGS = 3 : 7

(ก) O : MGS = 1 : 9

(จ) MGS

(ก) O



รูป 3.18 รูปแบบพาราเดอร์เอ็กซ์เรย์ดิฟเฟρากชันของโอลอกซาซินโซลิดดิสเพอร์สันที่ใช้ MRS
เป็นสารตัวพา

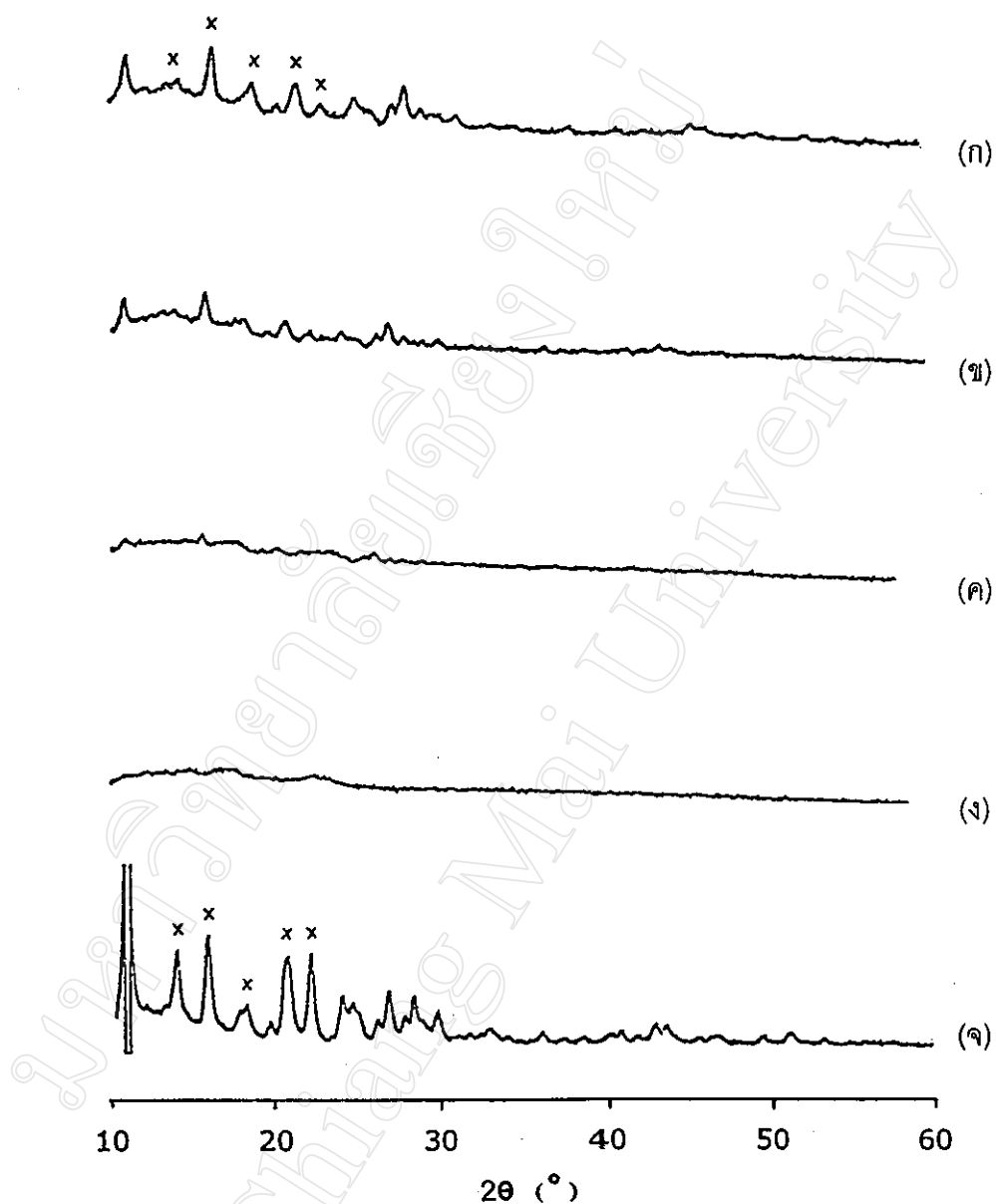
(η) O : MRS = 1 : 1

(θ) O : MRS = 3 : 7

(κ) O : MRS = 1 : 9

(γ) MRS

(η) O



รูป 3.19 รูปแบบพาร์เดอร์เอ็กซ์เรย์ดิฟเฟρากชันของโอฟลอกชาตินิชลิดดิสเพอර์สั้นที่ใช้ MTS เป็นสารตัวพา

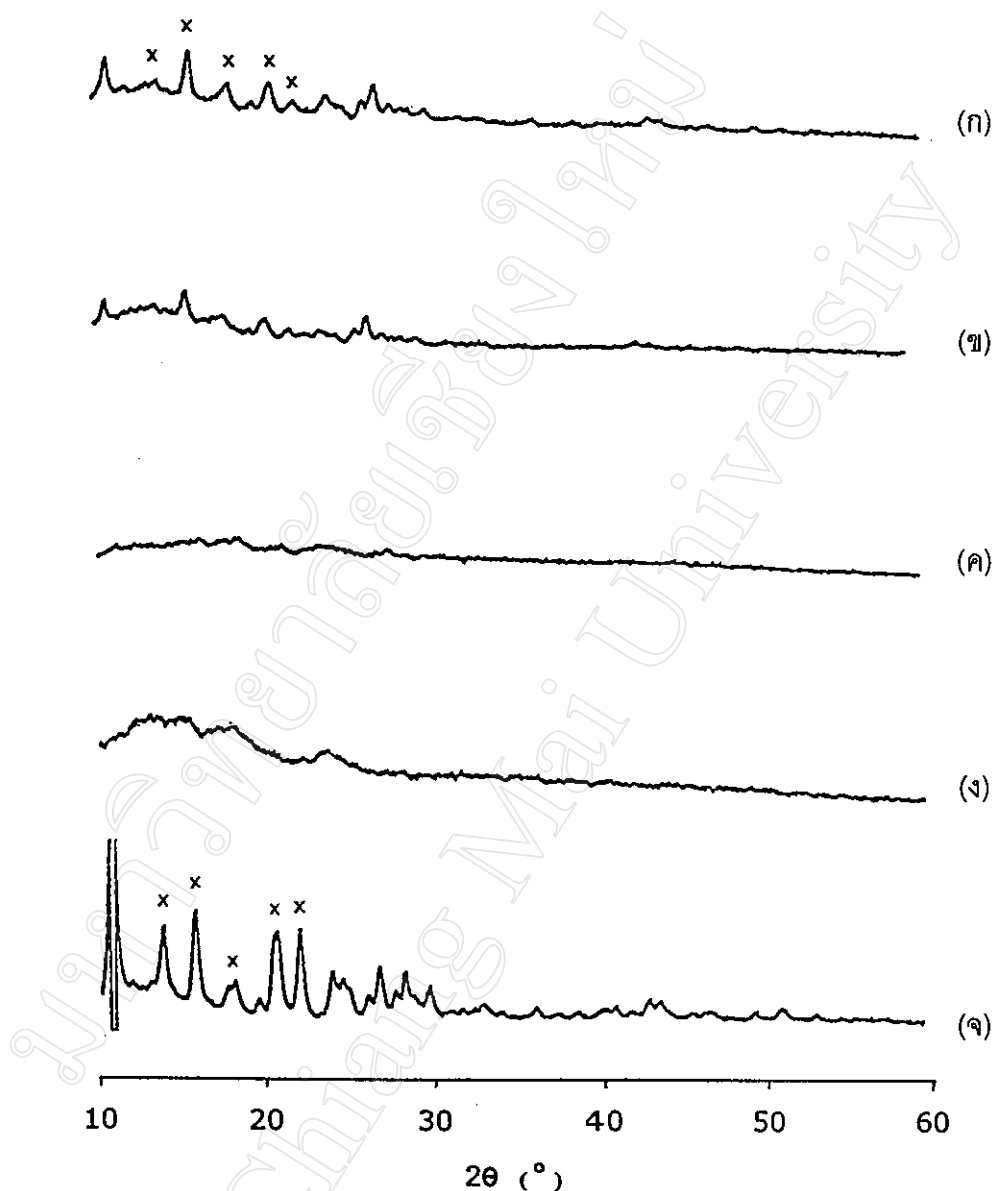
(ก) O : MTS = 1 : 1

(ข) O : MTS = 3 : 7

(ค) O : MTS = 1 : 9

(ง) MTS

(จ) O



รูป 3.20 รูปแบบพาวเดอร์เอ็กซ์เรย์ดิฟแฟร์กชันของโคฟลอกชาชินโซลิดดิสเพอร์สชันที่ใช้ IGS เป็นสารตัวพา

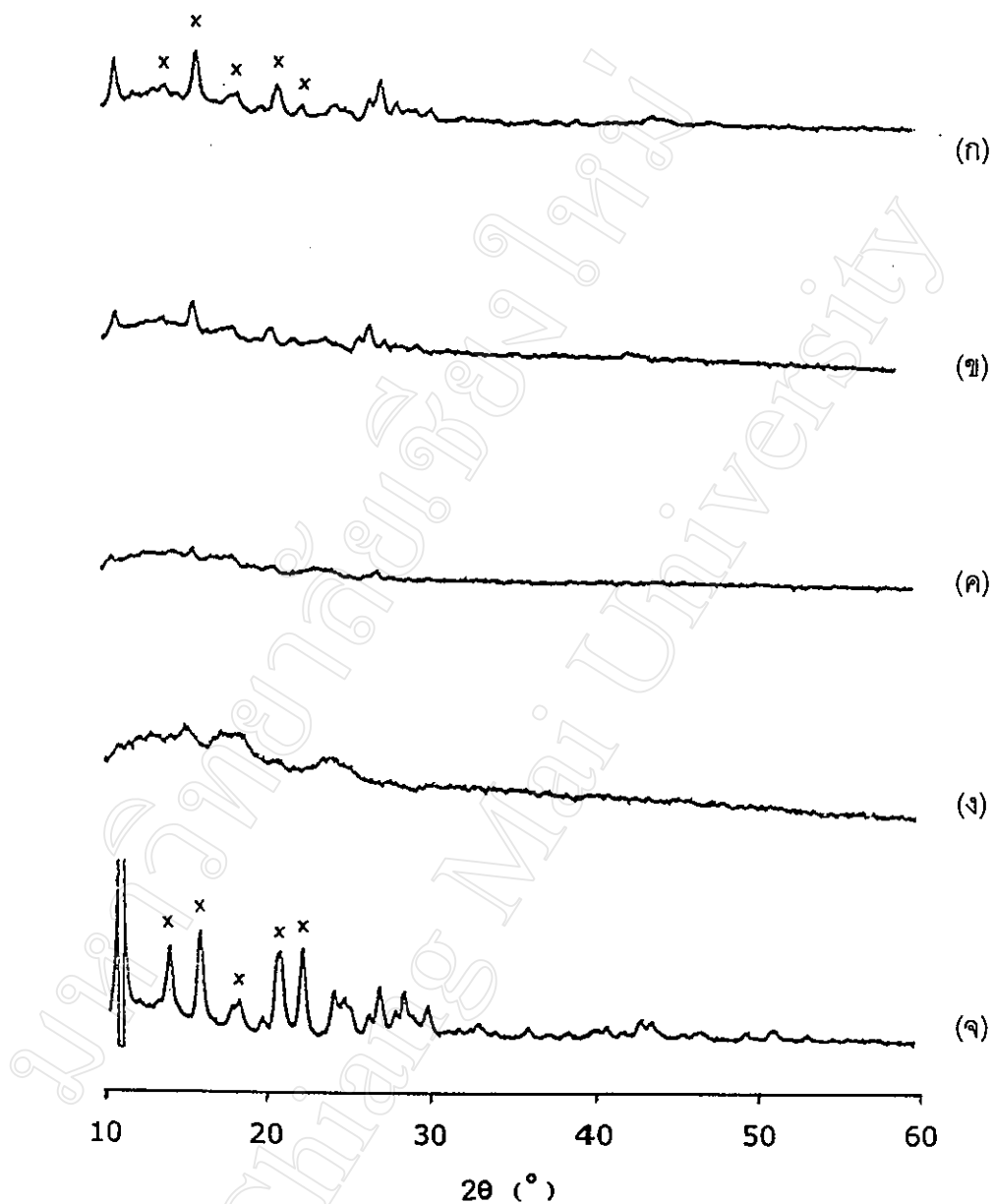
(ก) O : IGS = 1 : 1

(ภ) O : IGS = 3 : 7

(ค) O : IGS = 1 : 9

(ง) IGS

(จ) O



รูป 3.21 รูปแบบพาวเดอร์เอ็กซ์เรย์ดิฟเฟρεกชันของໂອຟລອກໜາສິນໂຊລິດດິສເພອຣ໌ສັນທີໃໝ່ IRS
ເປັນສາວຕົວພາ

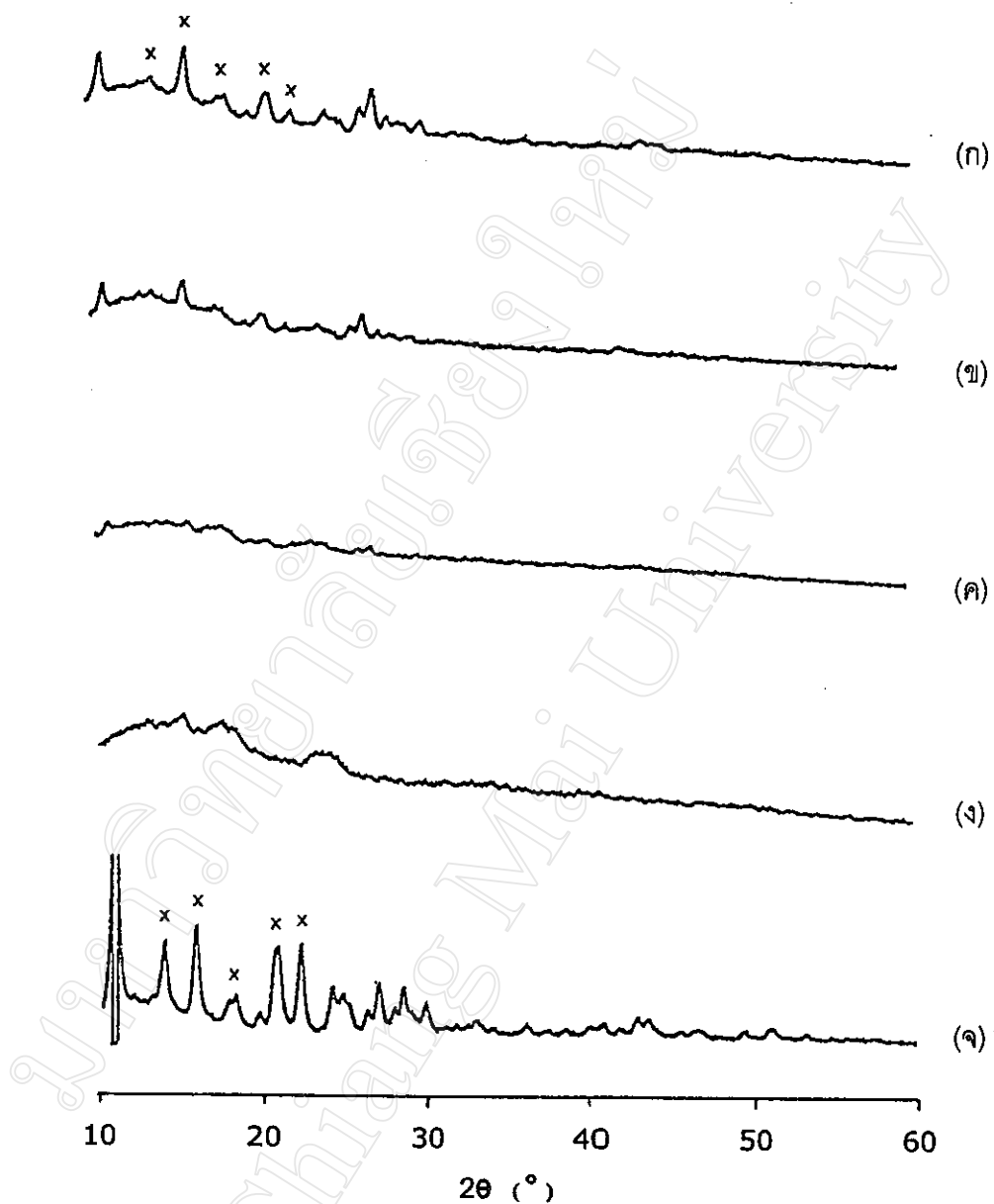
(ก) O : IRS = 1 : 1

(ก) O : IRS = 3 : 7

(ก) O : IRS = 1 : 9

(ก) IRS

(ก) O



รูป 3.22 รูปแบบพาวเดอร์เอ็กซ์เรย์ดิฟเฟρากชันของโอฟลอกชาชีนไฮดิดดิสเพอร์สชันที่ใช้ ITS เป็นสารตัวพา

(ก) O : ITS = 1 : 1

(ก) O : ITS = 3 : 7

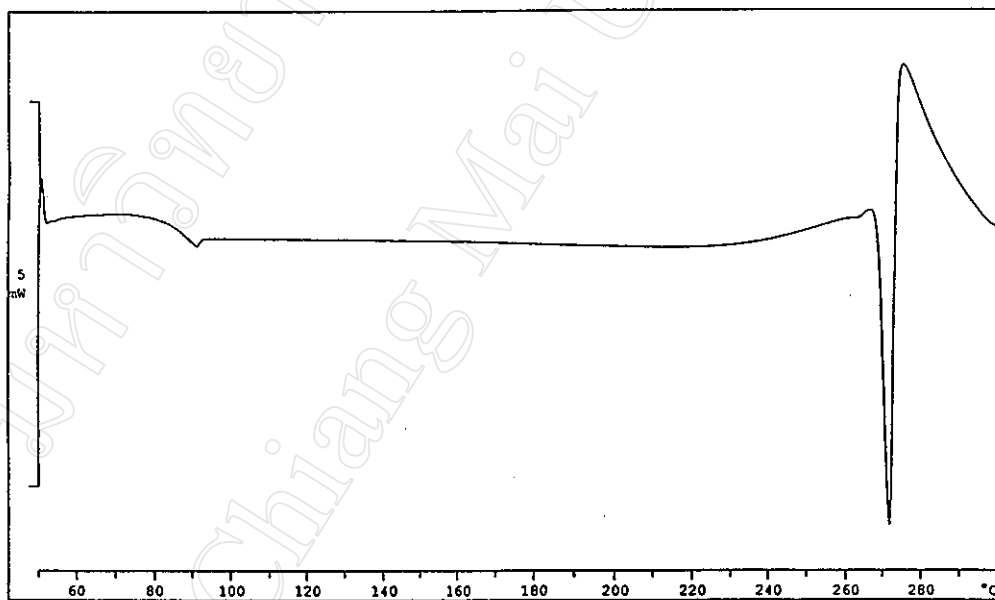
(ก) O : ITS = 1 : 9

(ก) ITS

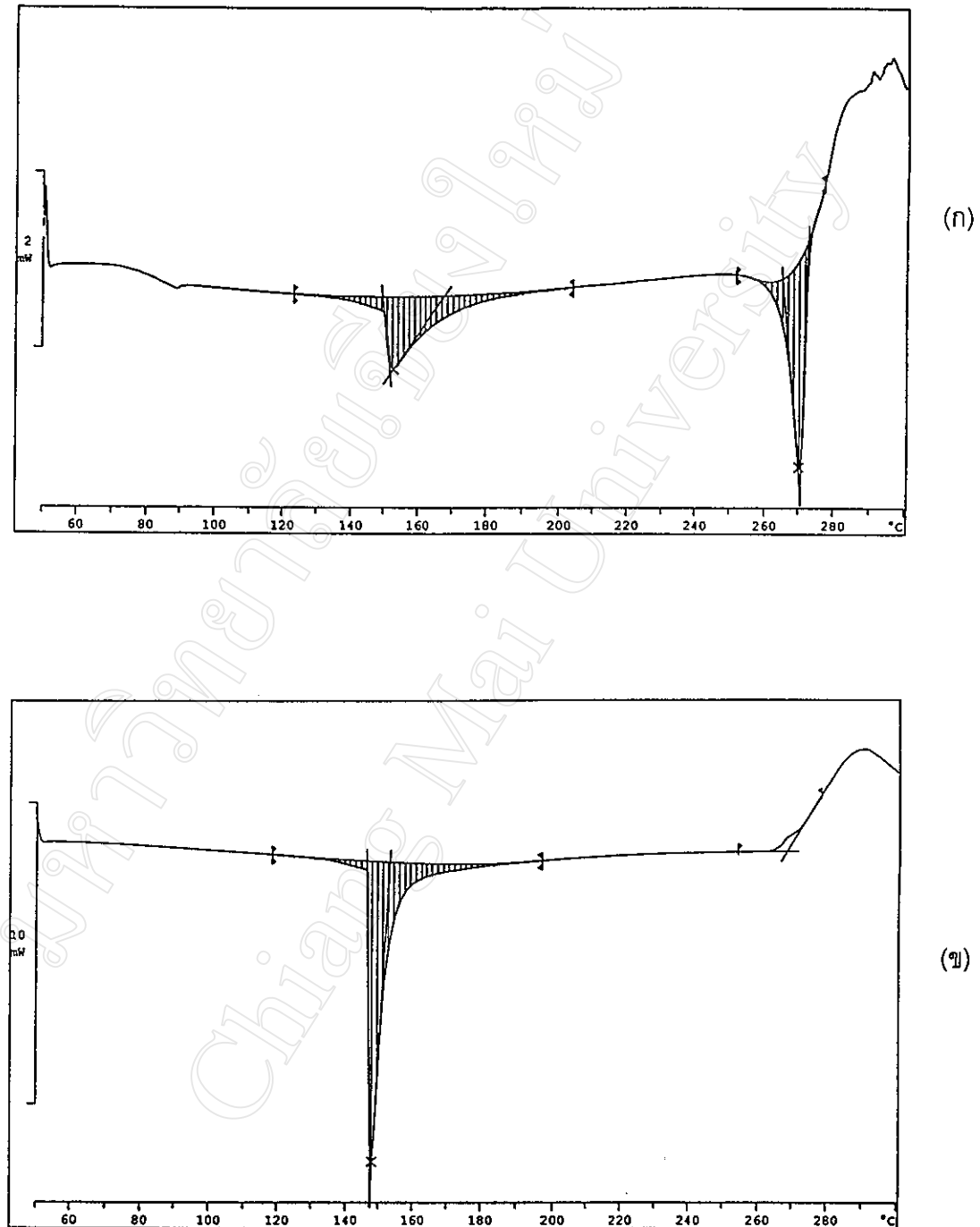
(ก) O

3. พฤติกรรมเมื่อได้รับความร้อนของโอลอกชาซินโซลิดดิสเพอร์สชัน

การศึกษาพฤติกรรมเมื่อได้รับความร้อนโดยใช้เครื่องดิฟเฟอเรนเชียลสแกนนิงแคลอ-ริมิเตอร์ได้ลักษณะเทอร์โมแกรมของตัวยาโอลอกชาซินดังแสดงในรูป 3.23 และลักษณะเทอร์-โมแกรมของโอลอกชาซินโซลิดดิสเพอร์สชันดังแสดงในรูป 3.24 - 3.29 ตำแหน่งที่เกิดพีคสูงสุด และค่า ΔH_f ในหน่วย J/g ของสารตัวพำนัคและตัวยา แสดงในตาราง 3.6 พบว่า พีคในการถูด-ความร้อนของโอลอกชาซินในรูปโซลิดดิสเพอร์สชันมีลักษณะแหลมและมีการเดือนตำแหน่งที่-เกิดพีคสูงสุดของโอลอกชาซินไปทางข้างเล็กน้อยเมื่อเปรียบเทียบกับโอลอกชาซินเดียวและ พบว่า ค่า ΔH_f ของโอลอกชาซินในรูปโซลิดดิสเพอร์สชันต่ำกว่าโอลอกชาซินเดียว โดยที่อัตรา ส่วนของตัวยาต่อสารตัวพำนัคเท่ากับ 1 : 9 ค่า ΔH_f จะต่ำกว่าที่อัตราส่วนของตัวยาต่อสารตัวพำนัคเท่ากับ 1 : 1



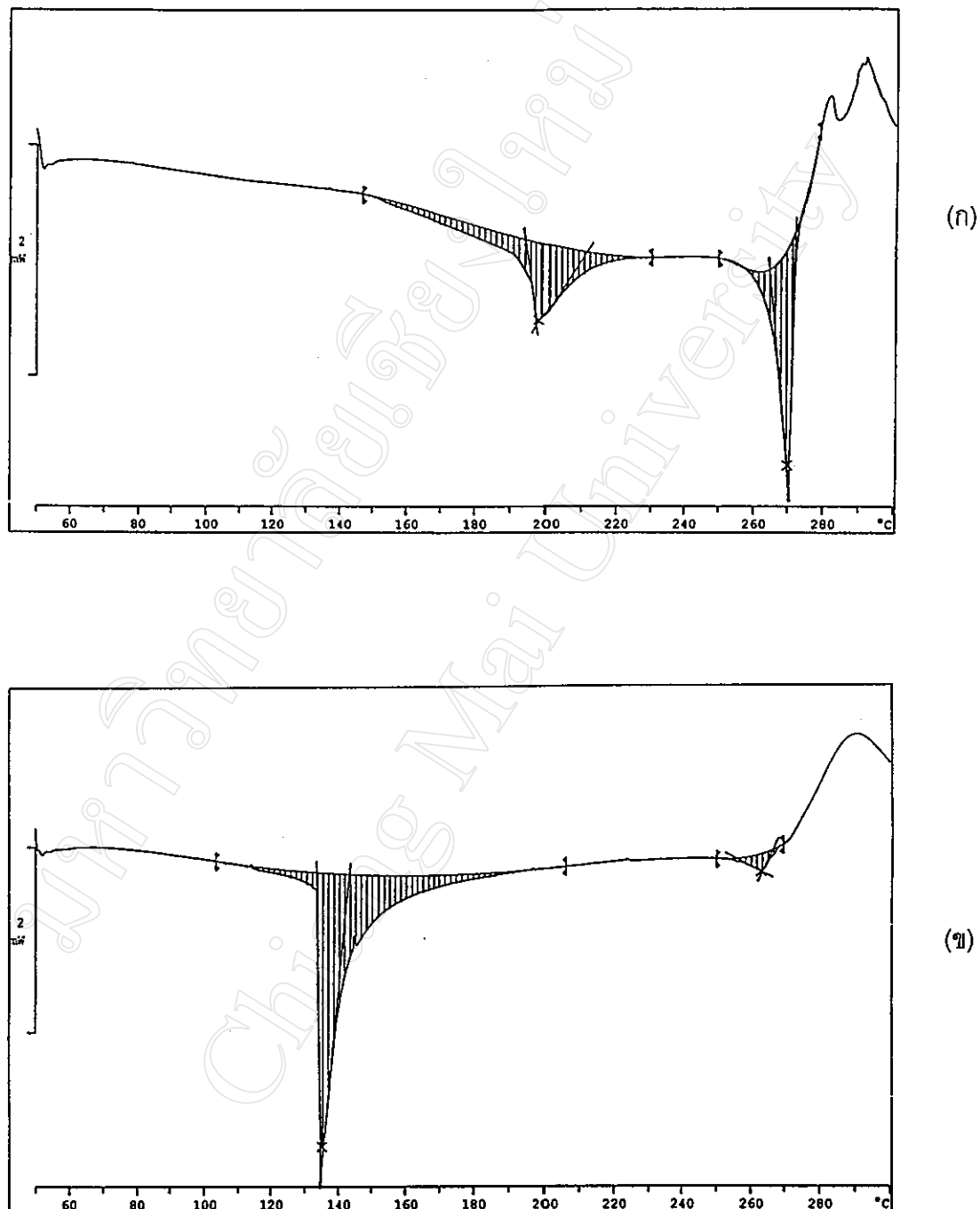
รูป 3.23 ลักษณะเทอร์โมแกรมของตัวยาโอลอกชาซิน



รูป 3.24 ลักษณะเทอร์โมแกรมของโอลอกซารินโซลิดดิสเพอร์สันที่ใช้ MGS เป็นสารตัวพา

(ก) O : MGS = 1 : 1

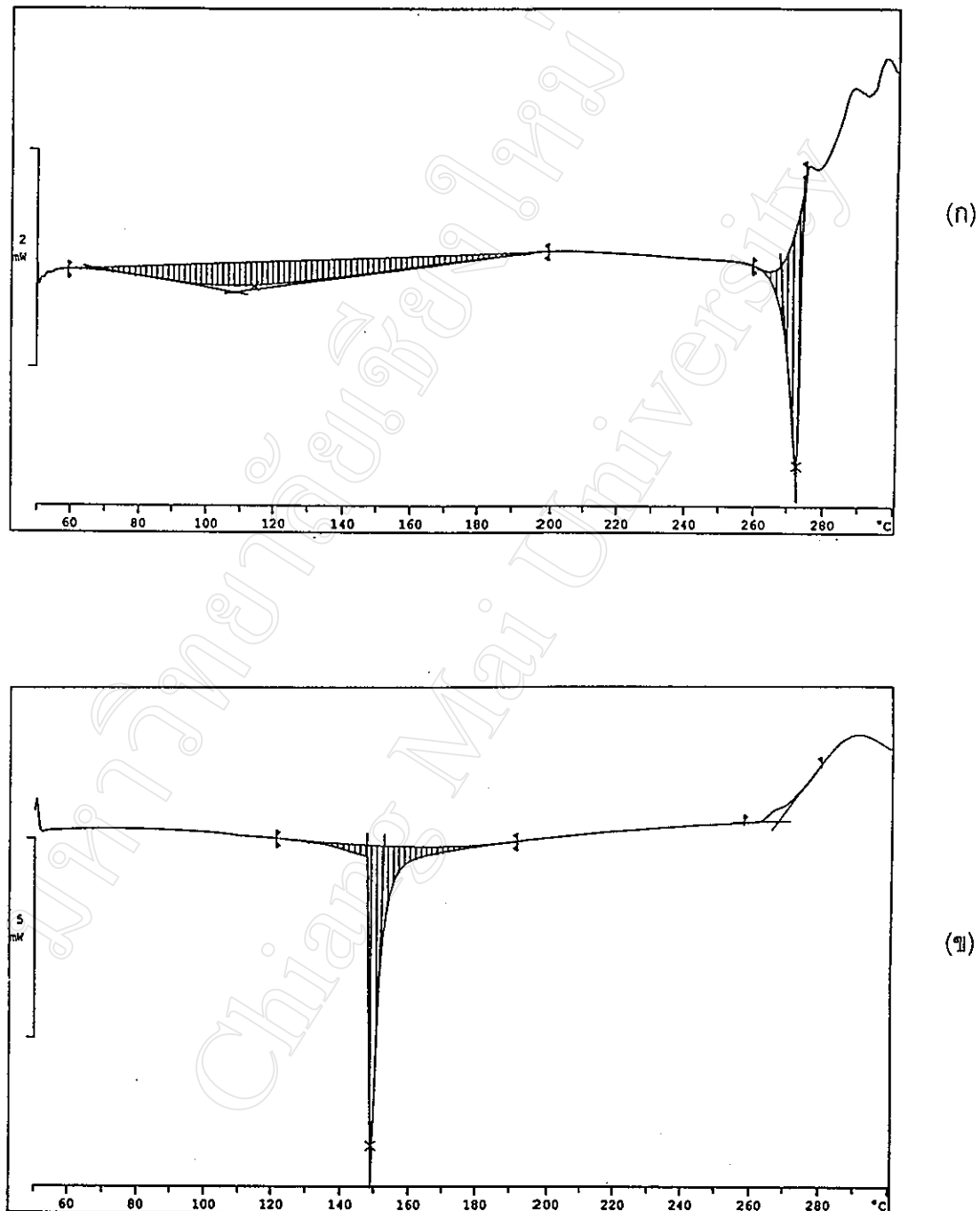
(ข) O : MGS = 1 : 9



รูป 3.25 ลักษณะเทอร์โมแกรมของโพลิอะคริลิกไซด์เดวอร์สชันที่ใช้ MRS เป็นสารตัวพา

(ก) O : MRS = 1 : 1

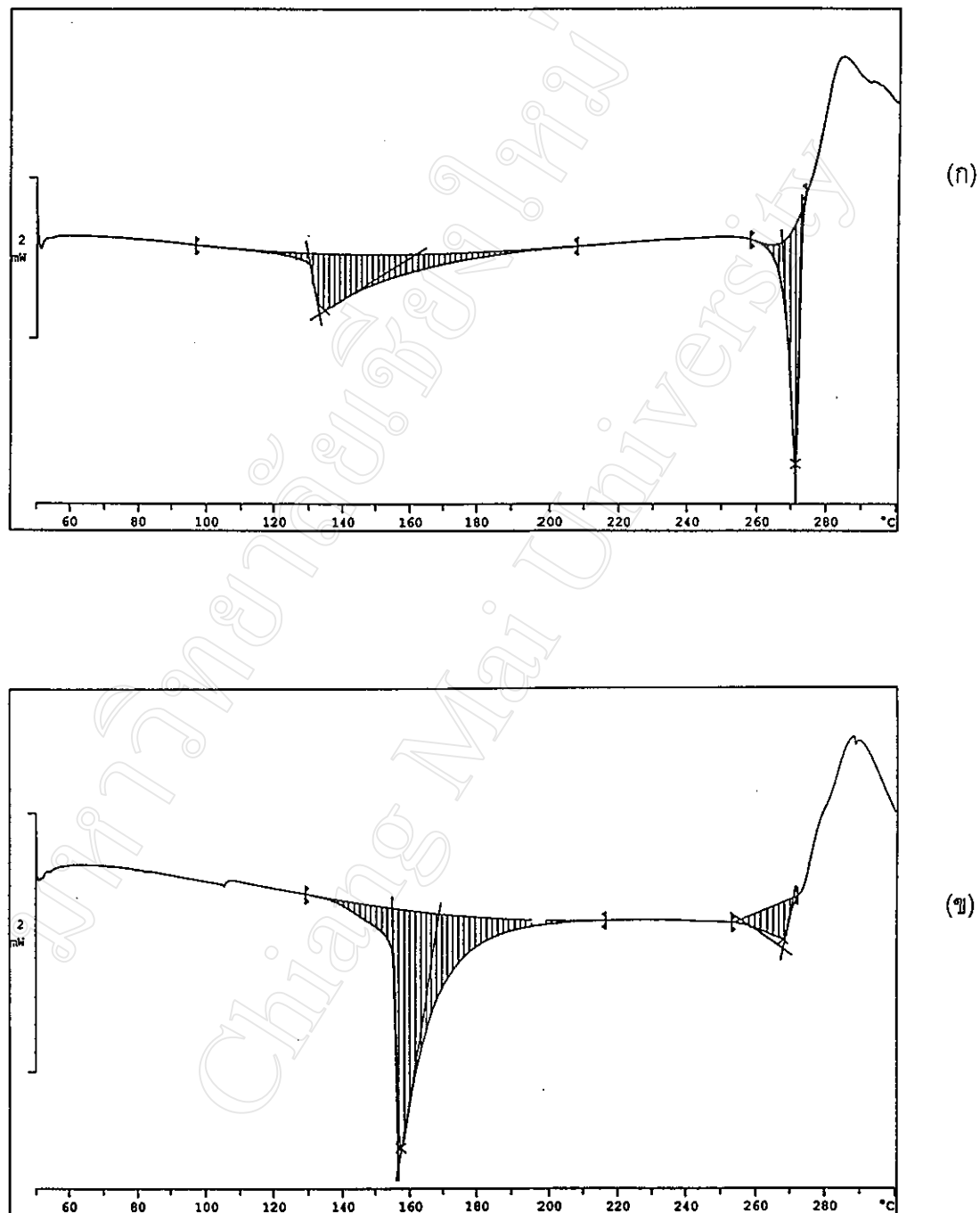
(ก') O : MRS = 1 : 9



รูป 3.26 ลักษณะเทอร์โมแกรมของโอลอกาซินโซลิดดิสเพอร์ชันที่ใช้ MTS เป็นสารตัวพา

(ก) O : MTS = 1 : 1

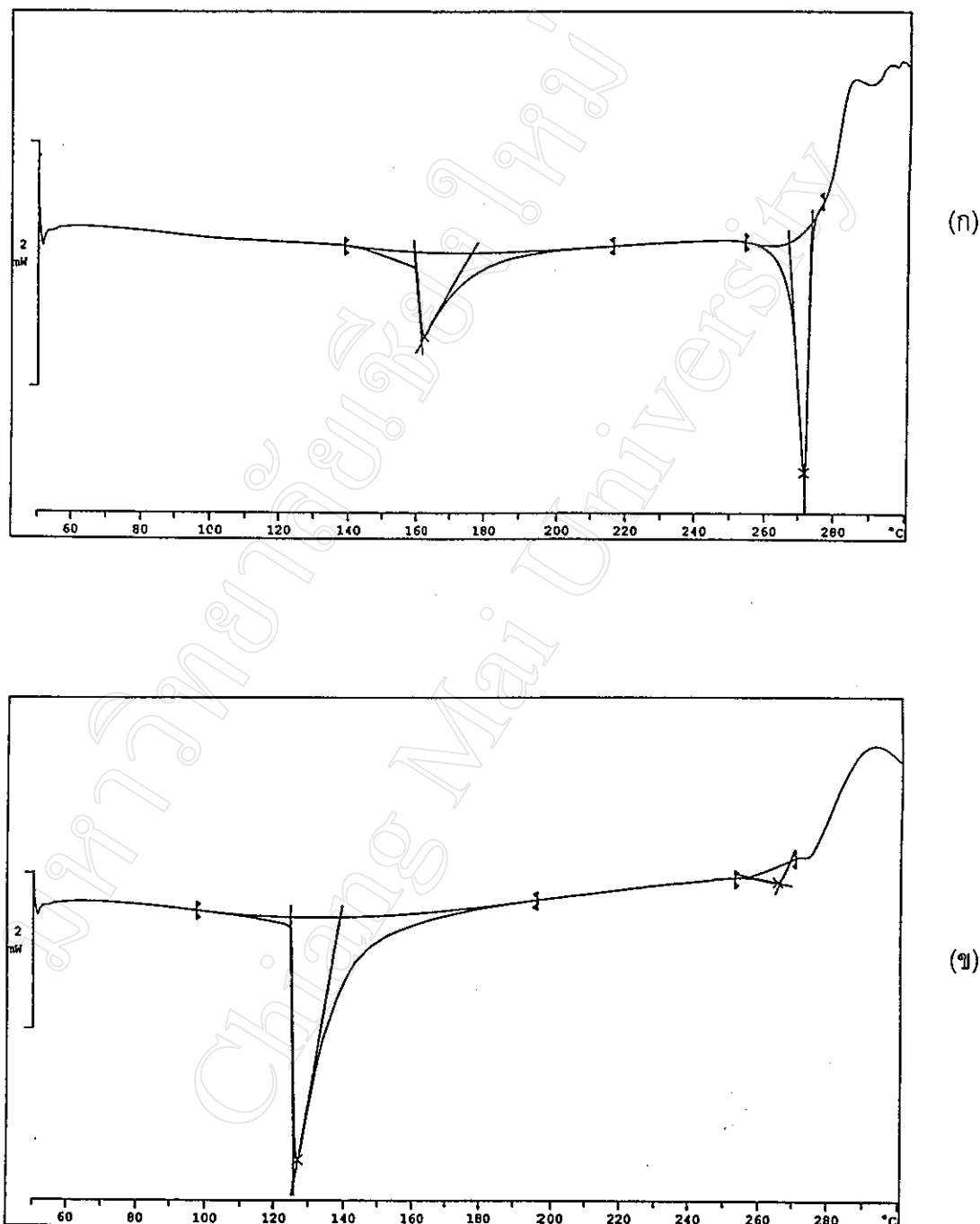
(ภ) O : MTS = 1 : 9



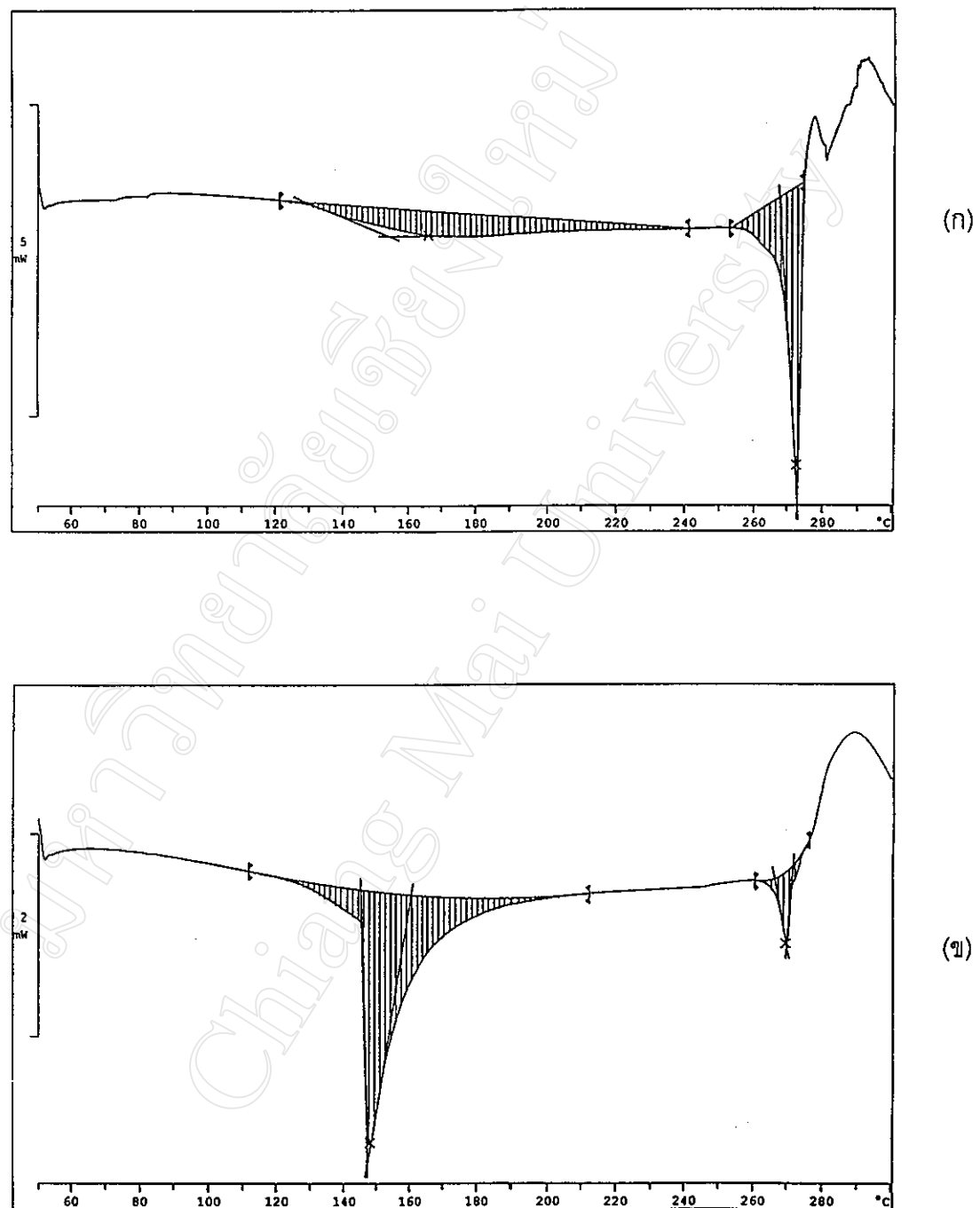
รูป 3.27 ลักษณะเทอร์โมแกรมของโอลอกซารินโซลิดดิสเพอร์ชันที่ใช้ IGS เป็นสารตัวพา

(ก) O : IGS = 1 : 1

(ก) O : IGS = 1 : 9



รูป 3.28 ลักษณะเทอร์โมแกรมของโพลีออกซิโซโนลีดดิสเพอร์สั่นที่ใช้ IRS เป็นสารตัวพา
 (ก) O : IRS = 1 : 1
 (ก) O : IRS = 1 : 9



รูป 3.29 ลักษณะเทอร์โมแกรนของโอลอกซ่าซินไฮดิดดิสเพอร์សันที่ใช้ ITS เป็นสารตัวพา

(ก) O : ITS = 1 : 1

(กก) O : ITS = 1 : 9

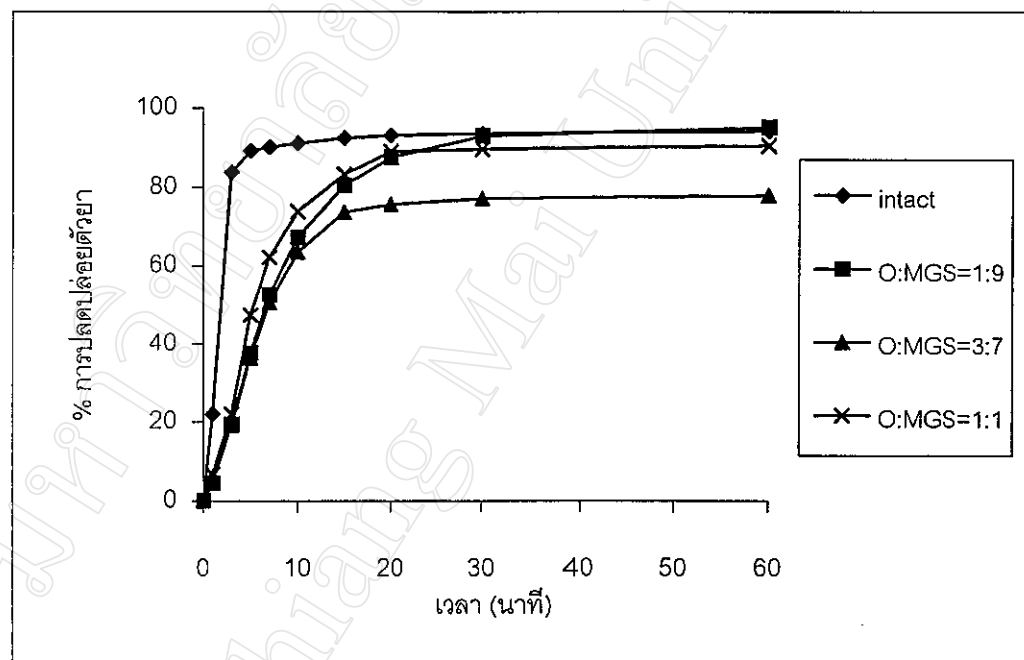
ตาราง 3.6 แสดงตำแหน่งที่เกิดพีคสูงสุดและค่า ΔH_f ในหน่วย J/g ของสารตัวพากและตัวยาในโอลอกราชินโซลิดดิสเพอร์ซชัน

สาร	สารตัวพาก		ตัวยา	
	ตำแหน่งที่เกิดพีคสูงสุด (°C)	ΔH_f (J/g)	ตำแหน่งที่เกิดพีคสูงสุด (°C)	ΔH_f (J/g)
O			272.60	126.70
MGS	163.19	149.72		
	152.77	41.68	270.19	39.44
	147.30	124.32	269.47	*
MRS	142.15	195.67		
	198.07	69.30	269.65	57.48
	135.17	72.81	263.12	2.97
MTS	133.54	159.76		
	113.97	79.24	272.20	43.88
	148.62	93.07	269.35	*
IGS	149.78	149.30		
	134.44	63.46	270.97	41.64
	157.20	98.79	267.76	10.32
IRS	137.87	113.43		
	162.27	48.50	271.35	44.25
	126.50	136.26	265.31	5.44
ITS	147.69	146.67		
	166.11	67.90	272.04	72.10
	147.68	120.11	269.58	8.74

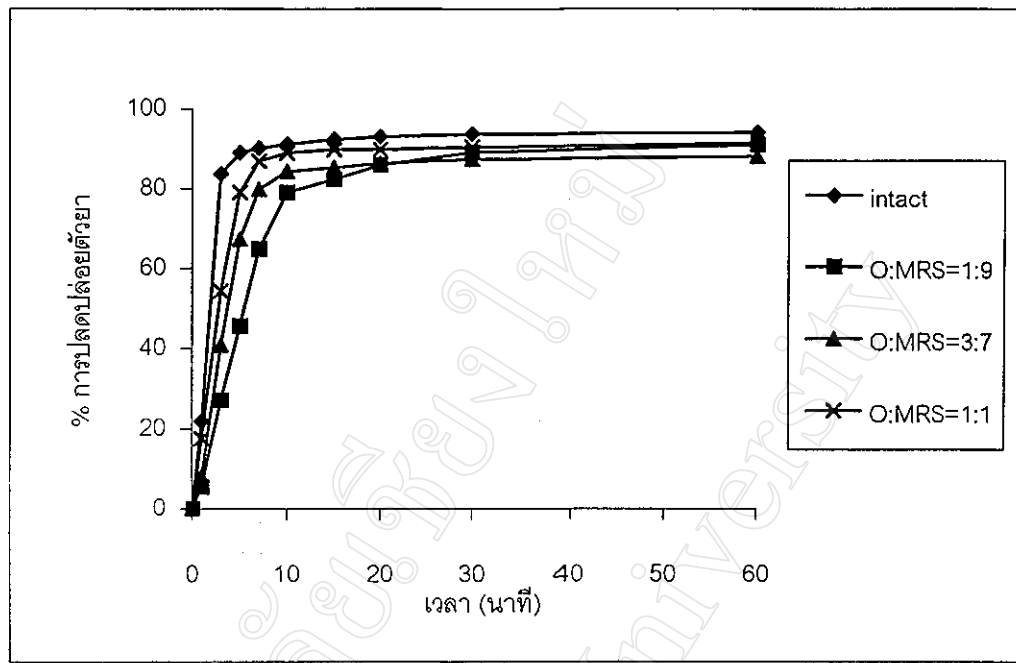
* น้อยมากจนไม่สามารถตรวจสอบได้

4. อัตราการละลายของโอลอกซานเจลิดดิสเพอร์สชัน

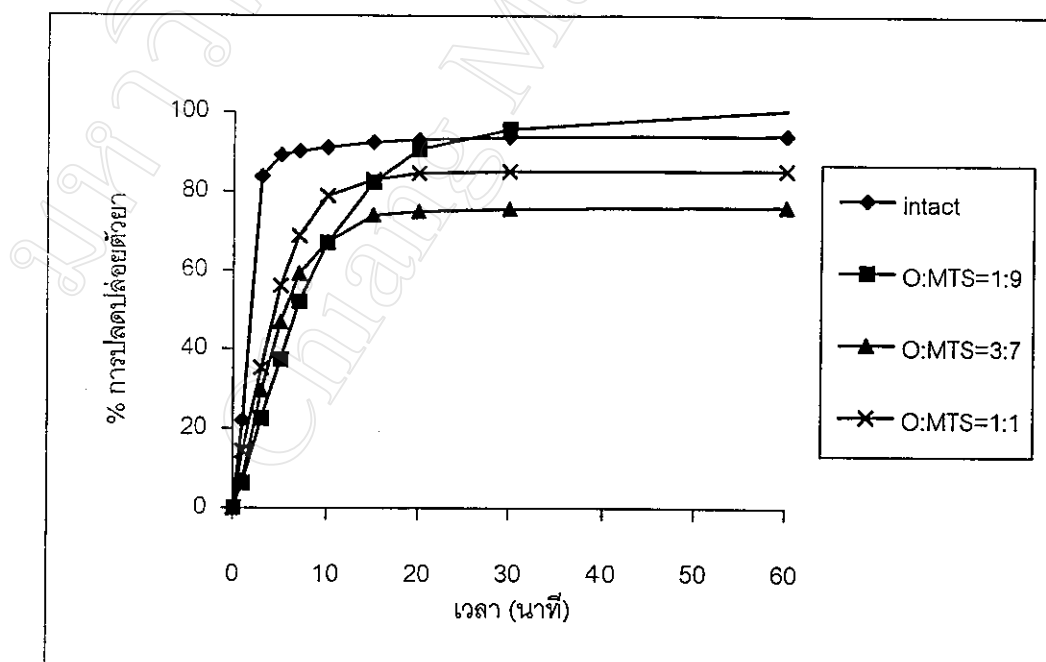
การศึกษาอัตราการละลายของตัวยาโอลอกซานเจลิดดิสเพอร์สชันเปรียบเทียบกับโอลอกซานเดี่ยว ได้กราฟดังแสดงในรูป 3.30 - 3.36 อัตราการละลายของตัวยาโอลอกซานเจลิดดิสเพอร์สชันภายใน 5 นาทีแรกแสดงในตาราง 3.7 พบว่า เมื่อใช้เปรี้ยวเดี่ยมคาร์บอคซีเมทิลทั้ง 6 ชนิดและมอลติเดกซ์ทิวิน (M) เป็นสารตัวพา อัตราการละลายของตัวยาโอลอกซานเจลิดดิสเพอร์สชันจะต่ำกว่าโอลอกซานเดี่ยวและที่อัตราส่วนของตัวยาต่อสารตัวพาเท่ากับ 1 : 9 อัตราการละลายของตัวยาจะต่ำกว่าที่อัตราส่วนของตัวยาต่อสารตัวพาเท่ากับ 3 : 7 และ 1 : 1 ตามลำดับ



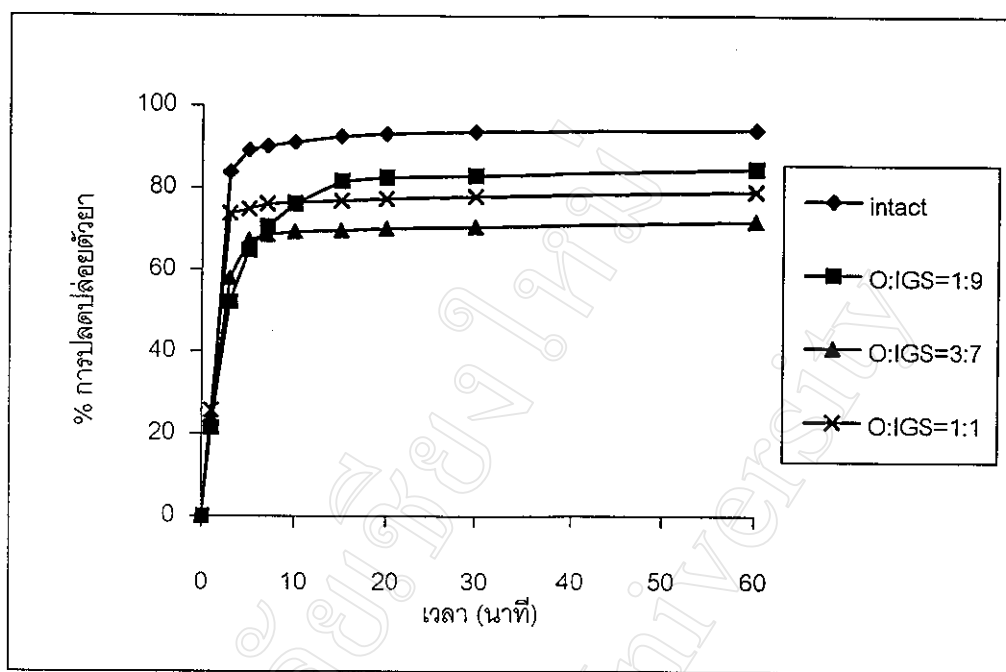
รูป 3.30 กราฟแสดงการปลดปล่อยตัวยาโอลอกซานเจลิดดิสเพอร์สชันที่ใช้ MGS เป็นสารตัวพาเปรียบเทียบกับโอลอกซานเดี่ยว (intact)



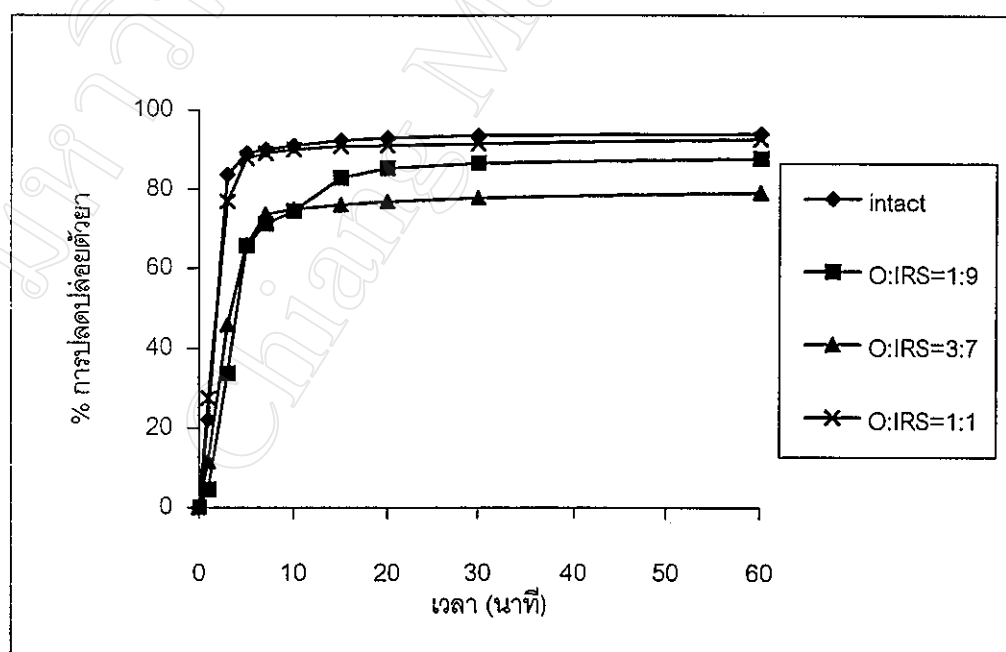
รูป 3.31 กราฟแสดงการปลดปล่อยตัวยาโดยลอกชาชินจากไฮลิดดิสเพอร์สันที่ใช้ MRS เป็นสารตัวพาเบรี้ยบเทียบกับโดยลอกชาชินเดี่ยว



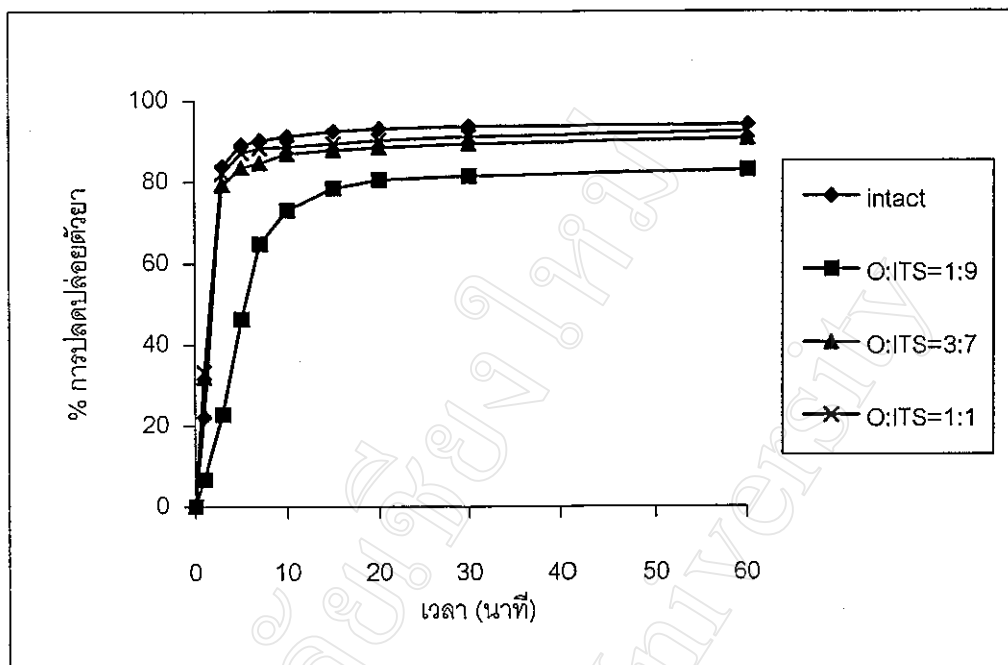
รูป 3.32 กราฟแสดงการปลดปล่อยตัวยาโดยลอกชาชินจากไฮลิดดิสเพอร์สันที่ใช้ MTS เป็นสารตัวพาเบรี้ยบเทียบกับโดยลอกชาชินเดี่ยว



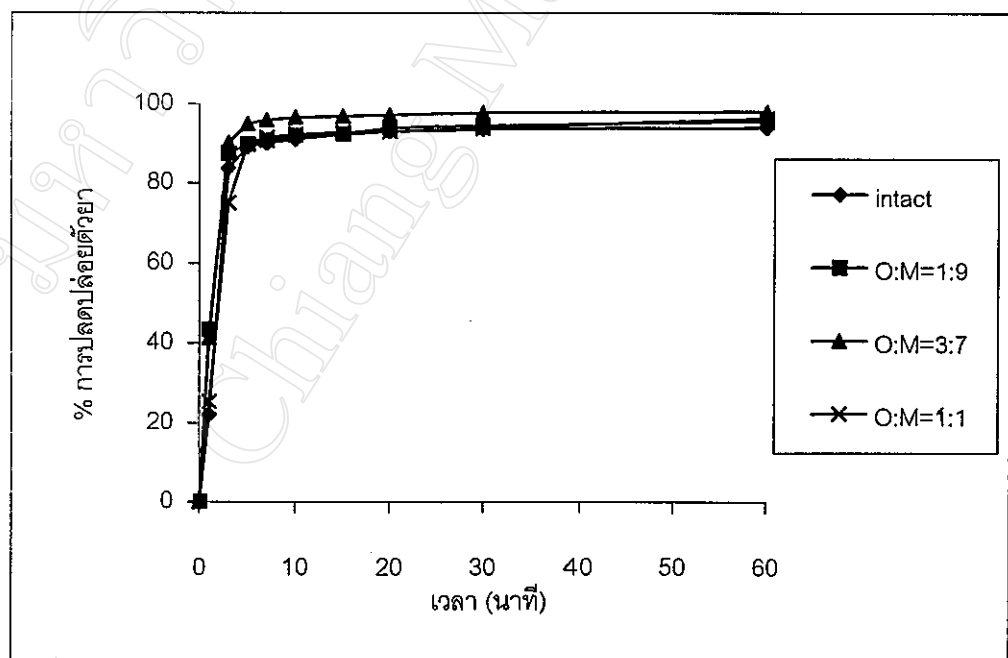
รูป 3.33 กราฟแสดงการปลดปล่อยตัวยาโดยลอกชาชินจากไฮลิดดิสเพอร์สชันที่ใช้ IGS เป็นสารตัวพาเบรียบเทียบกับโดยลอกชาชินเดียว



รูป 3.34 กราฟแสดงการปลดปล่อยตัวยาโดยลอกชาชินจากไฮลิดดิสเพอร์สชันที่ใช้ IRS เป็นสารตัวพาเบรียบเทียบกับโดยลอกชาชินเดียว



รูป 3.35 กราฟแสดงการปลดปล่อยตัวยาโดยฟลอกชาชินจากโซลิดดิสเพอร์สันที่ใช้ ITS เป็นสารตัวพาเปรียบเทียบกับโอลอกชาชินเดียว



รูป 3.36 กราฟแสดงการปลดปล่อยตัวยาโดยฟลอกชาชินจากโซลิดดิสเพอร์สันที่ใช้ M เป็นสารตัวพาเปรียบเทียบกับโอลอกชาชินเดียว

ตาราง 3.7 แสดงอัตราการละลายของตัวยาโดยผลกระทบจากไฮดิดดิสเพอร์สชันภายใน 5 นาที
แรกเป็นมิลลิกรัมต่อนาที

สาร	อัตราการละลาย (มิลลิกรัมต่อนาที)
O	18.999
O : MGS = 1 : 9	7.647
O : MGS = 3 : 7	7.231
O : MGS = 1 : 1	9.365
O : MRS = 1 : 9	9.408
O : MRS = 3 : 7	13.924
O : MRS = 1 : 1	15.995
O : MTS = 1 : 9	7.579
O : MTS = 3 : 7	9.612
O : MTS = 1 : 1	11.008
O : IGS = 1 : 9	12.891
O : IGS = 3 : 7	13.473
O : IGS = 1 : 1	15.531
O : IRS = 1 : 9	13.583
O : IRS = 3 : 7	13.680
O : IRS = 1 : 1	17.957
O : ITS = 1 : 9	9.220
O : ITS = 3 : 7	16.861
O : ITS = 1 : 1	17.590
O : M = 1 : 9	17.513
O : M = 3 : 7	18.778
O : M = 1 : 1	18.454